



# Chapter 6

## 放大器的频率特性

## Frequency Response of Amplifiers

中科大微电子学院

黄鲁、程林

教材: 模拟CMOS集成电路设计

Behzad Razavi



# 第6章内容

6.1 概述

6.2 共源级的频率特性

6.3 源跟随器的频率特性

6.4 共栅级的频率特性

6.5 共源共栅级的频率特性

6.6 差动对的频率特性

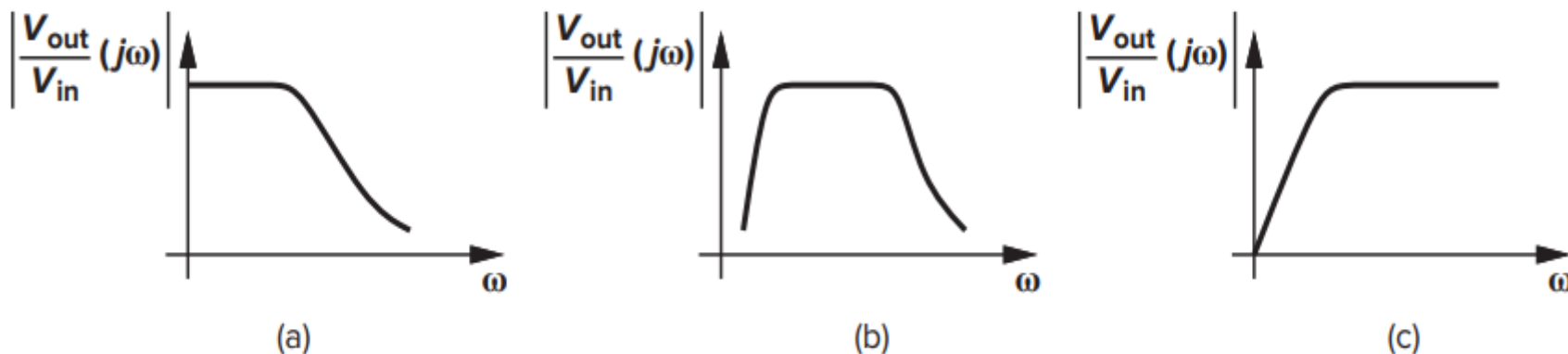
6.7 增益-带宽的折中



# 6.1 概述

MOS管寄生电容主要有4个： $C_{GS}$ 、 $C_{GD}$ 、 $C_{DB}$ 、 $C_{SB}$

传递函数=与(复)频率相关的增益。

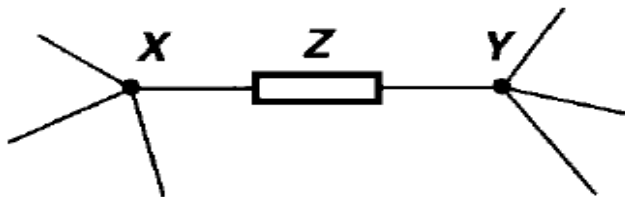


$s = \sigma + j\omega$  拉氏变换，可解出包含初始过程的瞬态响应

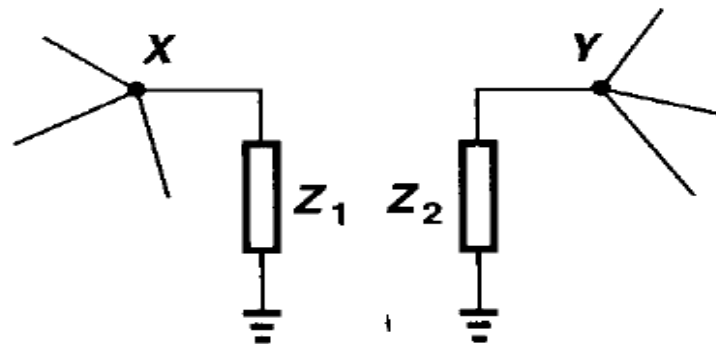
$s = j\omega$  傅里叶变换，代表稳态响应。频谱指稳态响应



## 6.1.1 密勒效应 与密勒近似计算



(a)



(b)

输入、输出阻抗？

Miller's theorem

设X和Y之间增益 $=V_Y/V_X$ ，由另一条支路提供（增益）

$$\frac{V_X - V_Y}{Z} = \frac{V_X}{Z_1}, \quad \frac{V_Y - V_X}{Z} = \frac{V_Y}{Z_2}$$

得  $Z_1 = \frac{Z}{1 - \frac{V_Y}{V_X}}, \quad Z_2 = \frac{Z}{1 - \frac{V_X}{V_Y}}$ ，注意  $\frac{V_Y}{V_X}$  为增益，正常为负

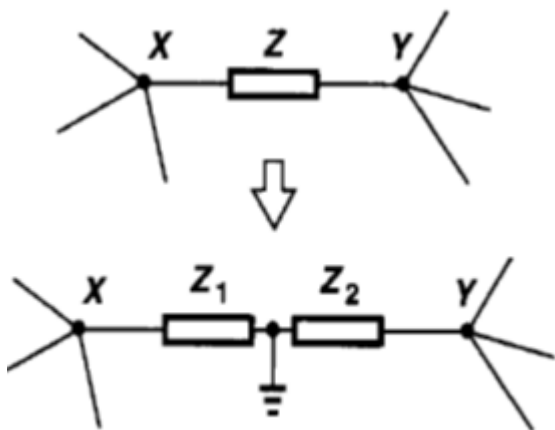
输入阻抗变小，一般不好



# Miller effect (cont.)

于是  $\frac{Z_1}{Z} = \frac{V_X}{V_X - V_Y}, \quad \frac{Z_2}{Z} = \frac{V_Y}{V_Y - V_X}$

$\therefore \frac{Z_1}{Z} + \frac{Z_2}{Z} = \frac{V_X}{V_X - V_Y} + \frac{V_Y}{V_Y - V_X} = 1$ , 即  $Z_1 + Z_2 = Z$



推论：

$Z_1 + Z_2$  之间某点可以接地，

则意味 **X与Y反向**



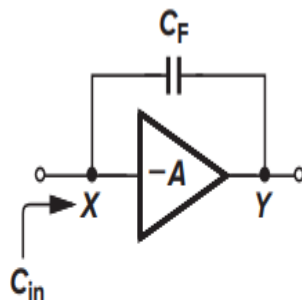
# 例6.1 计算图6.3(a)输入电容

$$Z = \frac{1}{C_F s}$$

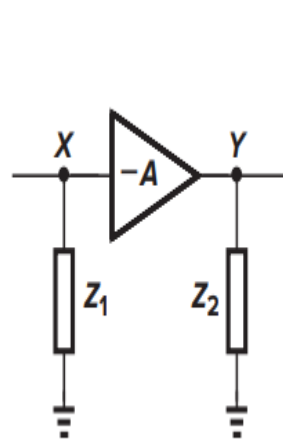
$$\frac{V_Y}{V_X} = -A, \quad A \text{ 为正}$$

$$Z_1 = \frac{Z}{1 - \frac{V_Y}{V_X}} = \frac{\frac{1}{C_F s}}{1 + A} = \frac{1}{(1 + A)C_F s}$$

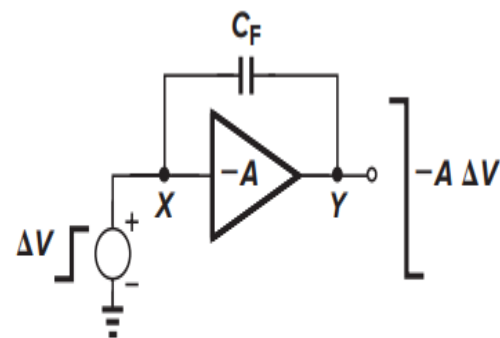
$$Z_2 = \frac{Z}{1 - \frac{V_X}{V_Y}} = \frac{\frac{1}{C_F s}}{1 + \frac{1}{A}} = \frac{A}{(A + 1)C_F s} \approx \frac{1}{C_F s}, \quad \text{大增益时}$$



(a)



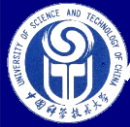
(b)



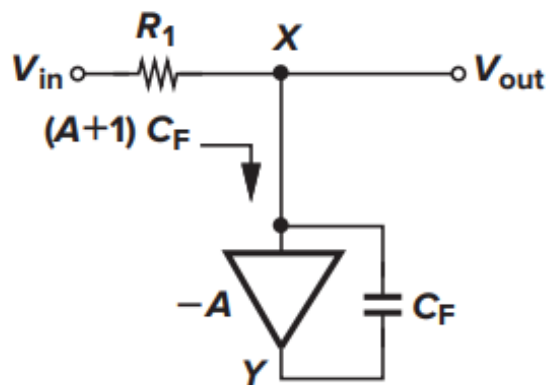
(c)

输入电容为  $C_F(1+A)$ 。  
密勒效应的物理意义：  
放大器的输入阻抗变小！

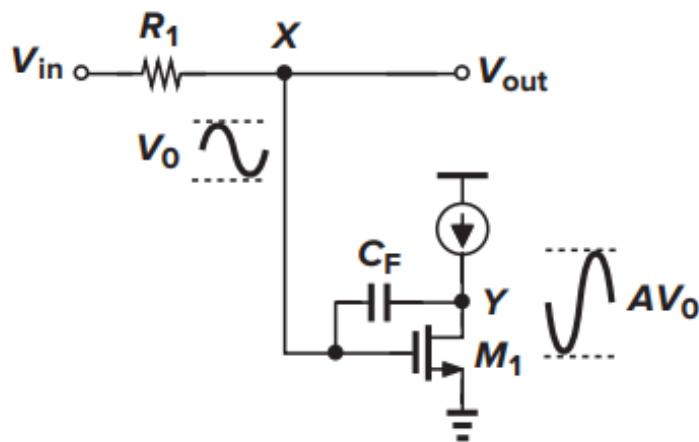
直观估计方法：  $A \gg 1$  时，输入点  $X$  小信号电压很小



## 例6.2 利用密勒效应增大低频滤波器电容



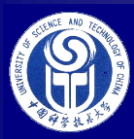
(a)



(b)

设X点电压幅度为 $V_0$

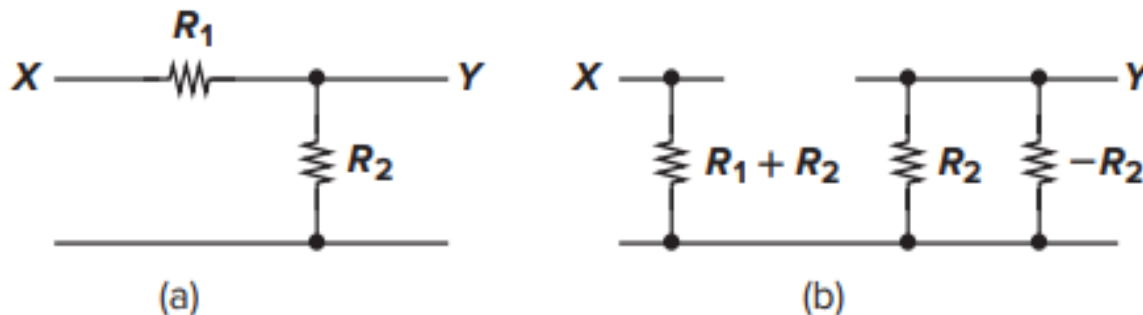
- 前提：
- (1)  $-A$ 放大器输出幅度须满足  $A \cdot V_0$ ,
  - (2)  $-A$ 放大器直流输入电平与X点 ( $V_{in}$ ) 相符。



# Miller 效应计算输出阻抗的错误情况

如果X和Y点同相(即无另一条反向通路), Miller 效应**不能保证**正确计算**输出**阻抗。

验证例: 输入  
输出同向。  
拆掉R1



$$Z_1 = \frac{Z}{1 - \frac{V_Y}{V_X}} = \frac{R_1}{1 - \frac{R_2}{R_1 + R_2}} = R_1 + R_2$$

无论输入输出是同相或反相，  
密勒定律计算**输入**阻抗正确！

$$Z_2 = \frac{Z}{1 - \frac{V_X}{V_Y}} = \frac{R_1}{1 - \frac{R_1 + R_2}{R_2}} = -R_2$$

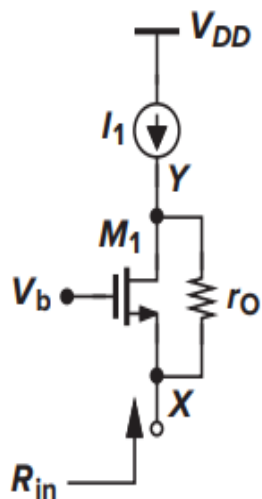
输入输出同相时，  
密勒定律计算输出阻抗可能错误！

应为 $R_1 \parallel R_2$

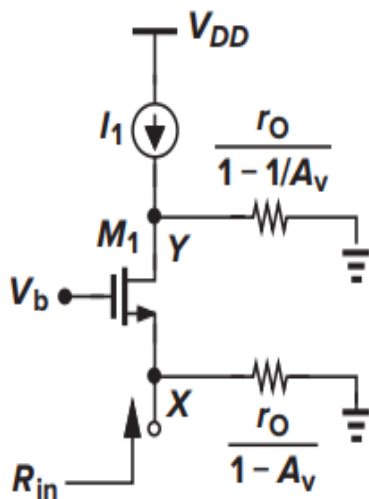




# 例6.3 计算输入电阻（输入输出同相）



(a)



(b)

$$A_v = \frac{V_{out}}{V_{in}} = \frac{r_o(g_m + g_{mb}) + 1}{r_o + (g_m + g_{mb})r_o R_S + R_S + R_D} R_D$$

式(3.111)

这里：负载  $R_D = \infty$ ，信号源电阻  $R_S = 0$

$$\therefore A_v = r_o(g_m + g_{mb}) + 1$$

从源极端向MOS 里看：  $R_{in} = \frac{V_X}{I_X} = \frac{R_D + r_o}{1 + (g_m + g_{mb})r_o}$  (3.116)

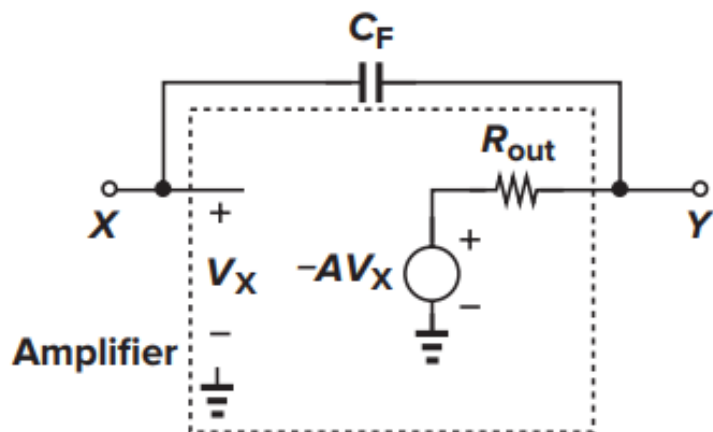
用密勒效应计算：

$$\begin{aligned} R_{in} &= \frac{r_o}{1 - [1 + (g_m + g_{mb})r_o]} \parallel \frac{1}{g_m + g_{mb}} \\ &= \frac{-1}{g_m + g_{mb}} \parallel \frac{1}{g_m + g_{mb}} \\ &= \infty \end{aligned}$$

与 (3.116) 计算一致。  
实际的输入、输出阻抗与频率有关



# 密勒定律用于近似计算



高频时  $V_Y \neq -AV_X$

$A$ 为低频增益.

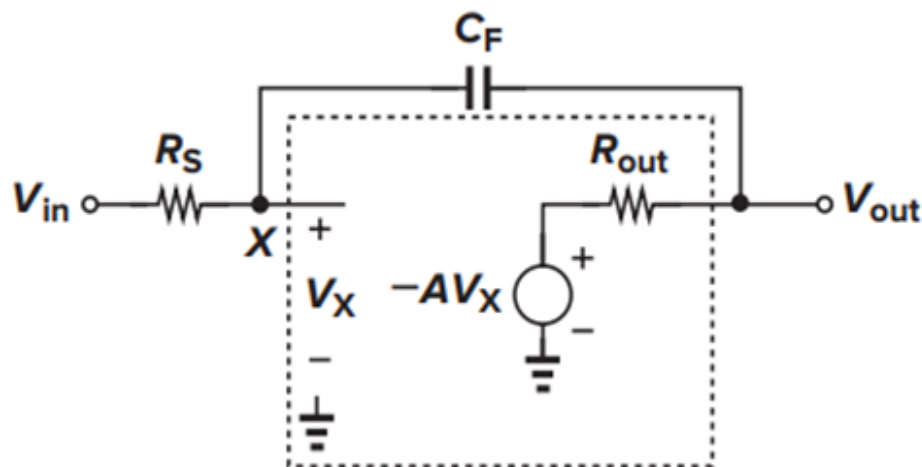
$X$ 点（交变）电压很小。

输入等效电容  $C_X = C_F(1+A)$ 仅在低频时有效，  
高频时增益幅值变小。

$$V_Y \approx -AV_X \frac{\frac{1}{C_F S}}{R_{out} + \frac{1}{C_F S}} = -AV_X \frac{1}{1 + R_{out} C_F S_X}, \quad \frac{V_Y}{V_X} = -\frac{A}{1 + R_{out} C_F S_X}$$



## 例6.4 求传递函数



$$\frac{V_{in} - V_X}{R_S} = (V_X - V_{out}) C_F s$$

$$\text{即 } \frac{V_{in}}{R_S} + C_F s V_{out} = \left( \frac{1}{R_S} + C_F s \right) V_X$$

$$\Rightarrow V_X = \frac{V_{in} + C_F R_S s V_{out}}{1 + C_F R_S s}$$

$$\frac{V_{in} - V_X}{R_S} R_{out} - A V_X = V_{out}$$

$$\Rightarrow V_X = \frac{V_{in} R_{out} - V_{out} R_S}{R_{out} + A R_S}$$

$$\therefore (R_{out} + A R_S) (V_{in} + C_F R_S s V_{out}) = (1 + C_F R_S s) (V_{in} R_{out} - V_{out} R_S)$$

两边除以  $R_S V_{in}$ , 整理得  $H(s) = \frac{V_{out}}{V_{in}}(s) = \frac{C_F R_{out} s - A}{[(A + 1) R_S + R_{out}] C_F s + 1}$

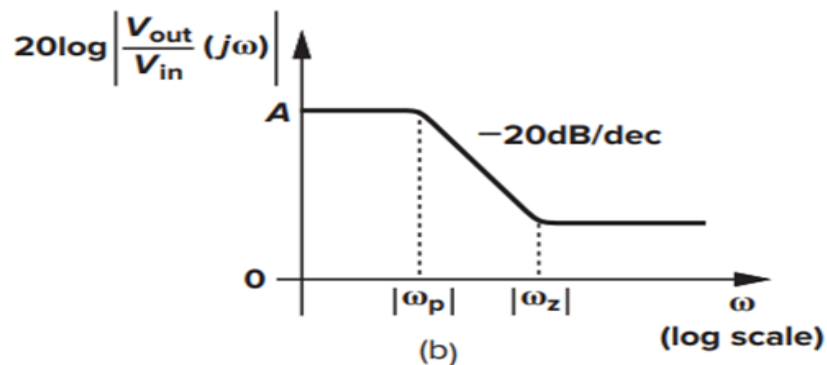


## 例6.4 求传递函数（续）

$$\frac{V_{out}}{V_{in}}(s) = \frac{C_F R_{out} s - A}{[(A+1)R_S + R_{out}]C_F s + 1} = -A \frac{1 - \frac{s}{\omega_z}}{1 + \frac{s}{\omega_p}}, \text{ 1极点1零点}$$

$$\text{(正) 零点 } \omega_z = \frac{A}{C_F R_{out}}, \quad \text{(负) 极点 } \omega_p = \frac{1}{[(A+1)R_S + R_{out}]C_F}$$

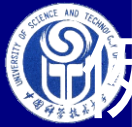
$$1 \pm \text{时间常数} \times s = 1 \pm \frac{s}{\text{零极点角频率}}$$



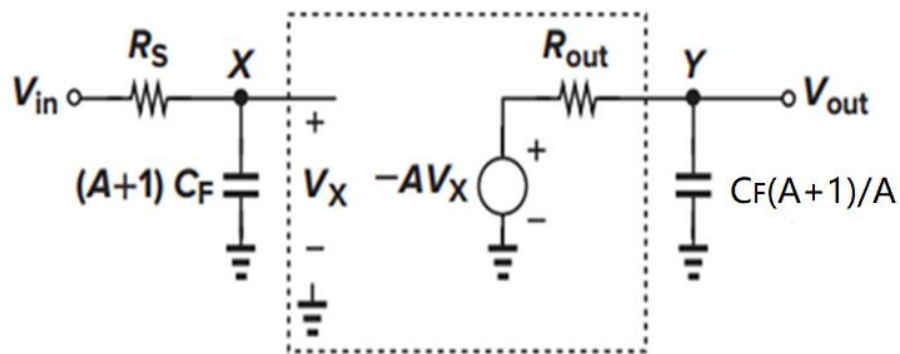
物理意义:  $s = j\omega$

零点  $\omega_z$  表示该频率处幅度比低频增大  $\sqrt{2}$ , 即 +3dB

极点  $\omega_p$  表示该频率处幅度比低频降低  $\sqrt{2}$ , 即 -3dB, 相位延迟  $45^\circ$



# 例6.4（续）密勒定律方法近似求传递函数



$$\begin{aligned}\frac{V_X}{V_{in}} &= \frac{\frac{1}{(1+A)C_F S}}{\frac{1}{(1+A)C_F S} + R_S} \\ &= \frac{1}{(1+A)R_S C_F S + 1}\end{aligned}$$

$$\frac{V_{out}}{V_X}(s) = -A \frac{\frac{1}{(1+A)C_F S}}{\frac{1}{(1+A)C_F S} + R_{out}} = \frac{-A}{1 + \frac{(1+A)R_{out}C_F S}{A}}$$

$$\frac{V_{out}}{V_{in}}(s) = \frac{V_X}{V_{in}} \frac{V_{out}}{V_X} = \frac{-A}{[(1+A)R_S C_F S + 1] \left(1 + \frac{(1+A)R_{out}C_F S}{A}\right)}$$

密勒定律计算的传递函数（2极点，无零点）明显有小错误！



## 例6.4（续）密勒定律求传递函数的问题

解电路方程得到  $\frac{V_{out}}{V_{in}}(s) = \frac{C_F R_{out} s - A}{[(A + 1)R_S + R_{out}]C_F s + 1} = -A \frac{1 - \frac{s}{\omega_z}}{1 + \frac{s}{\omega_p}}$

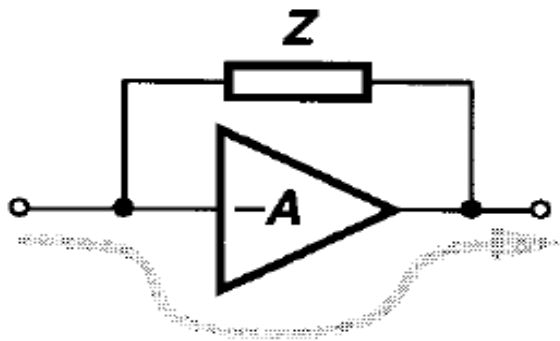
密勒定律得到  $\frac{V_{out}}{V_{in}}(s) = \frac{-A}{[(1+A)R_S C_F s + 1] \left(1 + \frac{(1+A)R_{out} C_F s}{A}\right)}$

$= \frac{-A}{\left(1 + \frac{s}{\omega_{p1}}\right) \left(1 + \frac{s}{\omega_{p2}}\right)}$  丢失零点，增加虚假极点

R<sub>out</sub>较小时（相比A R<sub>S</sub>），两者基本相同。  
密勒定律常用于手工估算输入极点（或阻抗）



# 总结：Miller theorem局限性



Main Signal Path

(1) 一般手工计算使用的  $V_y/V_x$  是低频增益，与高频不符。故称米勒近似。

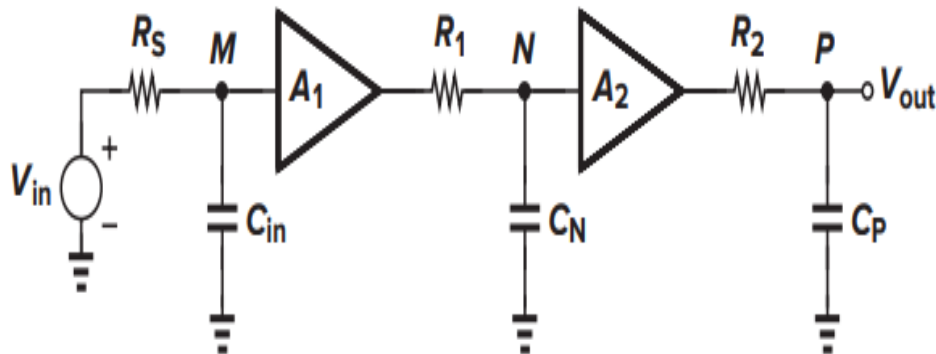
(2) 应用米勒定律，输入阻抗计算正确，但输出阻抗以及增益计算近似正确的前提是：输入与输出反相。

(3) 应用米勒效应进行电路手工简化计算的局限性：

1. 丢掉传递函数零点。所谓零点是指该频率下两条支路输出之和为“0”，实为  $1 \pm j$
2. 可能会多出虚假极点（一般会因频率高而忽略其影响）



## 6.1.2 极点与结点的关联（前向结构）



极点：传递函数分母=“0”的频率，  
结点或节点：信号通道电路连接点。

复频域  $s = \sigma + j\omega$  ( $\sigma > 0$  发散)

$s = j\omega$  得到稳态频率响应

图中：A为低频增益。

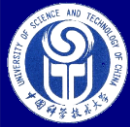
$R_s$  为前级输出阻抗， $R_1$  和  $R_2$  分别为放大器  $A_1$  和  $A_2$  的输出阻抗。

$$\begin{aligned} \frac{V_{out}}{V_{in}}(s) &= \frac{\frac{1}{C_{in}s}}{\frac{1}{C_{in}s} + R_s} * A_1 * \frac{\frac{1}{C_Ns}}{\frac{1}{C_Ns} + R_1} * A_2 * \frac{\frac{1}{C_ps}}{\frac{1}{C_ps} + R_2} = \frac{A_1}{1 + R_s C_{in}s} \cdot \frac{A_2}{1 + R_1 C_Ns} \cdot \frac{1}{1 + R_2 C_ps} \\ &= \frac{A_1}{1 + \frac{s}{\omega_{in}}} \cdot \frac{A_2}{1 + \frac{s}{\omega_1}} \cdot \frac{1}{1 + \frac{s}{\omega_2}} = \frac{\text{低频增益}}{\text{极点因子 } (1 + \frac{s}{\omega_p})} \end{aligned}$$

$$\omega_j = \frac{1}{\tau_j} = \frac{1}{R_j C_j}, \quad \tau_j \text{ 称为 } j \text{ 节点的时间常数, } s \text{ 的系数}$$

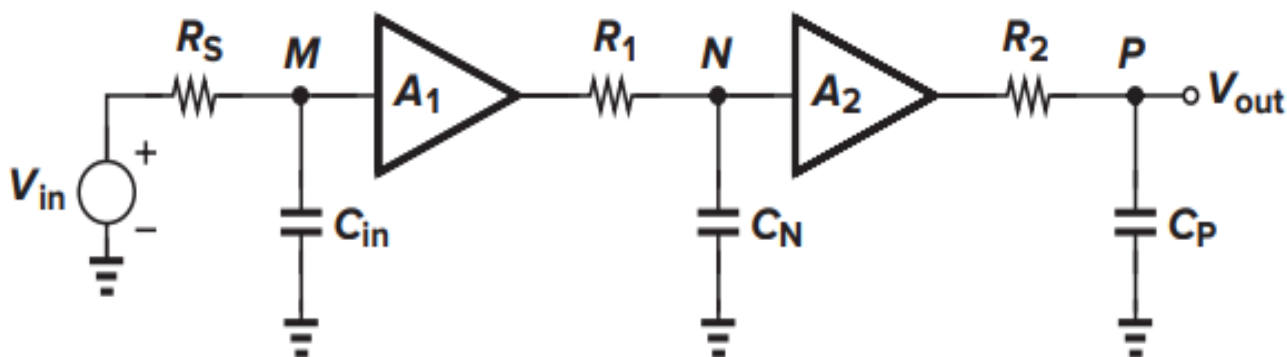
极点（角频率）表示  
比低频时下降3dB





# 前向结构电路节点的时间常数与极点

- 在**前向**结构放大器电路中，每个结点j的时间常数（极点）：  
=节点到地总电阻\*节点到地总电容，  
其倒数对应各极点的角频率。  
即信号通道上每个结点阻容值乘积（时间常数）之倒数贡献一个极点。

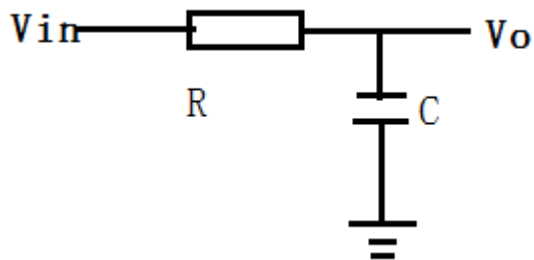


- 在**仅有电容反馈**情况下，可采用密勒近似计算方法（求**输入**阻抗和输入节点关联的极点）。上述结论可用于手工计算能等效为前向结构的负反馈放大器极点。但如有RC反馈回路，则结论不成立。



# 电路节点的时间常数与极点

(1)



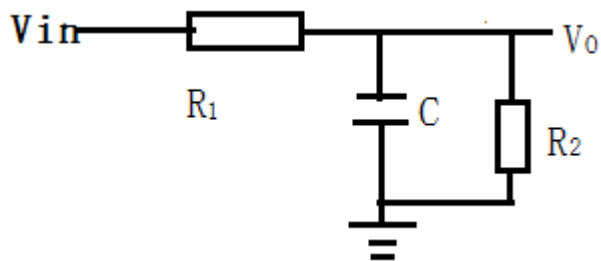
记  $\hat{C}^* = 1/sC$

$$A = \frac{V_o}{V_{in}} = \frac{1/sC}{R + 1/sC} \times \frac{R}{R} = \frac{1/sC \parallel R}{R}$$

$$= \frac{\hat{C}^* \parallel R}{R} \quad (\text{记 } \hat{C}^* = 1/sC) = \frac{1}{1 + sCR}$$

时间常数  $\tau = RC$ ,  $s$  的系数

(2)



$V_o$ 节点到地总电阻为 $R_1 \parallel R_2$

$$A = \frac{V_o}{V_{in}} = \frac{\hat{C}^* \parallel R_2}{R_1 + \hat{C}^* \parallel R_2} \times \frac{R_1}{R_1} = \frac{\hat{C}^* \parallel R_2 \parallel R_1}{R_1} \times \frac{R_2 \parallel R_1}{R_2 \parallel R_1}$$

$$= \frac{1}{1 + sC(R_1 \parallel R_2)} \times \frac{R_2 \parallel R_1}{R_1} = \frac{1}{1 + sC(R_1 \parallel R_2)} \times \frac{R_2}{R_1 + R_2}$$

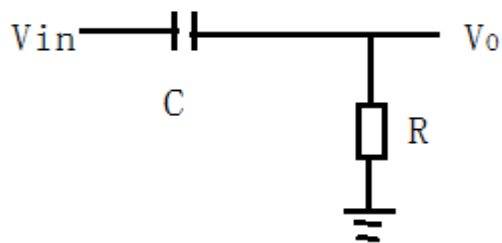
低频  $A_0 = \frac{R_2}{R_1 + R_2}$

极点时间常数=节点到地总电阻\*总电容



# 电路节点的时间常数与零极点

(3)

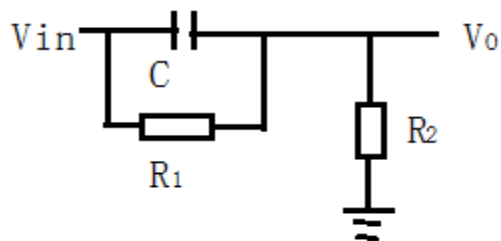


$$A = \frac{V_o}{V_{in}} = \frac{R}{R + 1/sC} = \frac{sCR \text{ (真零点)}}{1 + sCR}$$

极点（分母=0时角频率）结论仍然正确，高频时  $A_{\infty} = 1$

(4)

记  $\overset{*}{C} = 1/sC$



$$A = \frac{V_o}{V_{in}} = \frac{R_2}{R_2 + \overset{*}{C} || R_1} \times \frac{\overset{*}{C} || R_1}{\overset{*}{C} || R_1}$$

$$= \frac{\overset{*}{C} || R_1 || R_2}{\overset{*}{C} || R_1} \times \frac{R_1 || R_2}{R_1 || R_2} \times \frac{R_1}{R_1}$$

$$= \frac{1 + sCR_1}{1 + sC(R_1 || R_2)} \times \frac{R_1 || R_2}{R_1}$$

$$= \frac{1 + sCR_1}{1 + sC(R_1 || R_2)} \times \frac{R_2}{R_1 + R_2}$$

低频  $A_0 = \frac{R_2}{R_1 + R_2}$ ,

极高频  $A_{\infty} = \frac{R_1}{(R_1 || R_2)} \times \frac{R_2}{R_1 + R_2} = 1$

零点表示输入至输出有  $R_1$  和  $C$  两条通路

输入输出RC 2条通路，有零点

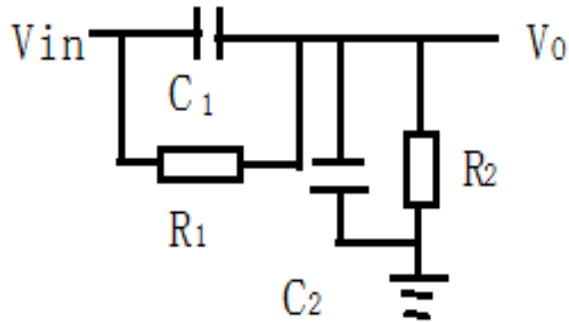
重复利用  $\frac{\overset{*}{C} || R}{R} = \frac{1}{1 + sCR}$



# 电路节点的时间常数与零极点（续）

(5)

$$\text{记 } \overset{*}{C} = 1/sC$$

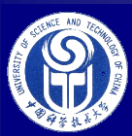


- 极点时间常数 = 节点到地总电阻 \* 节点到地总电容
- 零点时间常数 = 输入输出之间的  $R_1 * C_1$ ，**两条支路电流相等，令  $V_0=0$**

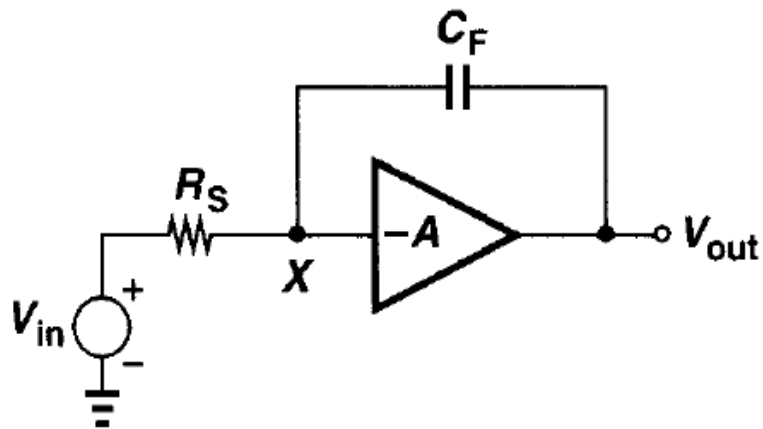
$$A = \frac{V_o}{V_{in}} = \frac{\overset{*}{C}_2 \parallel R_2}{\overset{*}{C}_1 \parallel R_1 + \overset{*}{C}_2 \parallel R_2} \times \frac{\overset{*}{C}_1 \parallel R_1}{\overset{*}{C}_1 \parallel R_1} = \frac{(\overset{*}{C}_2 \parallel R_2) \parallel (\overset{*}{C}_1 \parallel R_1)}{\overset{*}{C}_1 \parallel R_1} \times \frac{R_2 \parallel R_1}{R_2 \parallel R_1}$$

$$= \frac{1}{1 + s(C_1 + C_2)(R_1 \parallel R_2)} \times \frac{R_2 \parallel R_1}{\overset{*}{C}_1 \parallel R_1} \times \frac{R_1}{R_1} = \frac{1 + sC_1R_1}{1 + s(C_1 + C_2)(R_1 \parallel R_2)} \times \frac{R_2}{R_1 + R_2}$$

$$\text{低频 } A_0 = \frac{R_2}{R_1 + R_2}, \text{ 极高频 } A_\infty = \frac{C_1R_1}{(C_1 + C_2)(R_1 \parallel R_2)} \times \frac{R_2}{R_1 + R_2} = \frac{C_1}{C_1 + C_2}$$



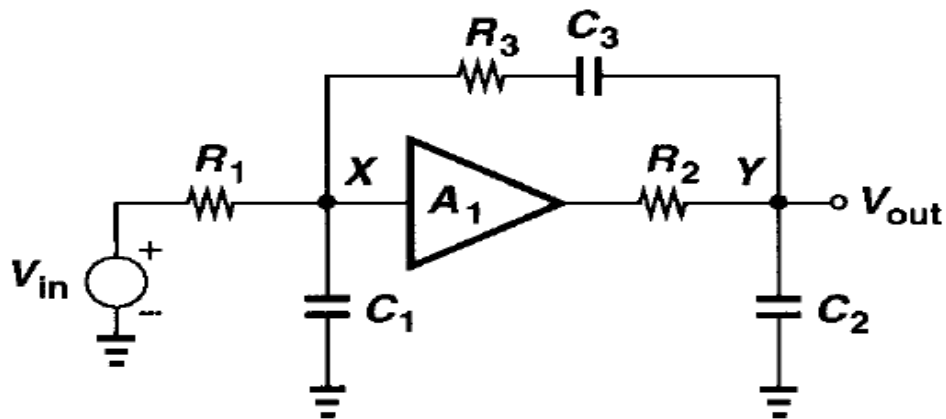
# 结点与极点关联的电路局限性



输入极点  $\omega_{in}$

$$= \omega_{px} = \frac{1}{R_S(1 + A)C_F} \quad (\text{弧度/秒, } rad / s)$$

适用于前馈电路，或单一性质反馈器件



- X超过1个极点。
- 每个结点贡献一个极点的结论不成立

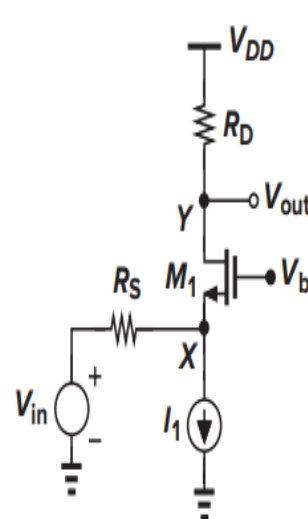


# Example 6.5

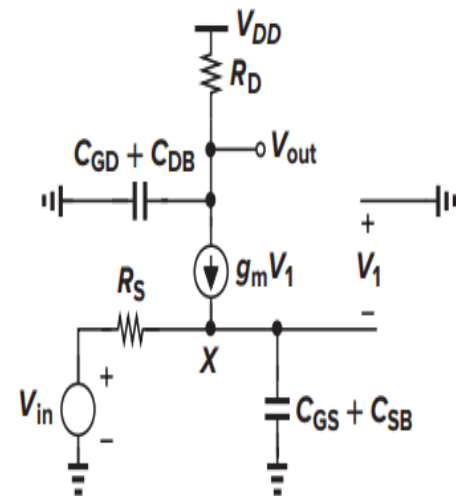
Neglecting channel-length modulation. Calculate the transfer function of common-gate stage shown in fig.6.12

$$\omega_{in} = \omega_X = \frac{1}{(C_{GS} + C_{SB}) \left( R_S \parallel \frac{1}{g_m + g_{mb}} \right)}$$

$$\omega_{out} = \frac{1}{(C_{DG} + C_{DB}) R_D}$$



(a)



(b)

$$H(s) = \frac{A_0}{\left(1 + \frac{s}{\omega_{in}}\right) \left(1 + \frac{s}{\omega_{out}}\right)} = \frac{\frac{(g_m + g_{mb}) R_D}{1 + (g_m + g_{mb}) R_S}}{\left(1 + \frac{s}{\omega_{in}}\right) \left(1 + \frac{s}{\omega_{out}}\right)}$$

仅线性时  
不变系统



# MOS管的极限频率

特征频率  $f_T$  : 来源于三极管截止频率  $f_T$  的定义，  
即输出电流=输入电流时的频率。MOS设计时可用于参考。

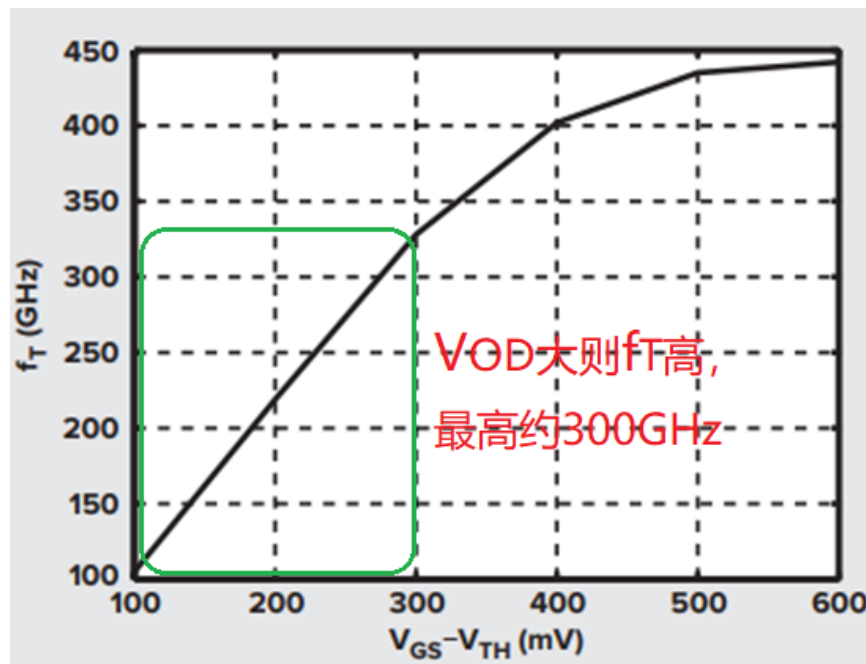
$$\text{令MOS的 } I_{in} = I_{out}, \text{ 即 } \omega_T C_{GS} V_{in} = g_m V_{in} \Rightarrow f_T = \frac{g_m}{2\pi C_{GS}}$$

由工艺最小尺寸MOS, 得到工艺特征频率

$$f_T = \frac{g_m}{2\pi C_{GS}} \propto \frac{V_{GS} - V_{TH}}{C_{GS}}$$

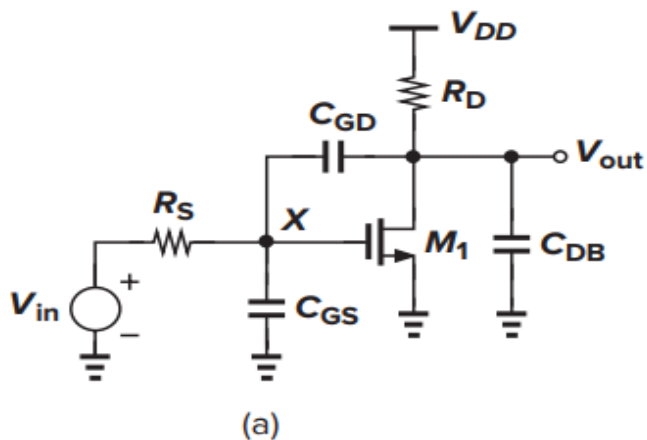
$$\text{或 } \propto \sqrt{\frac{I_D}{WL}}$$

低电压时 (VOD小)  $f_T$  减小

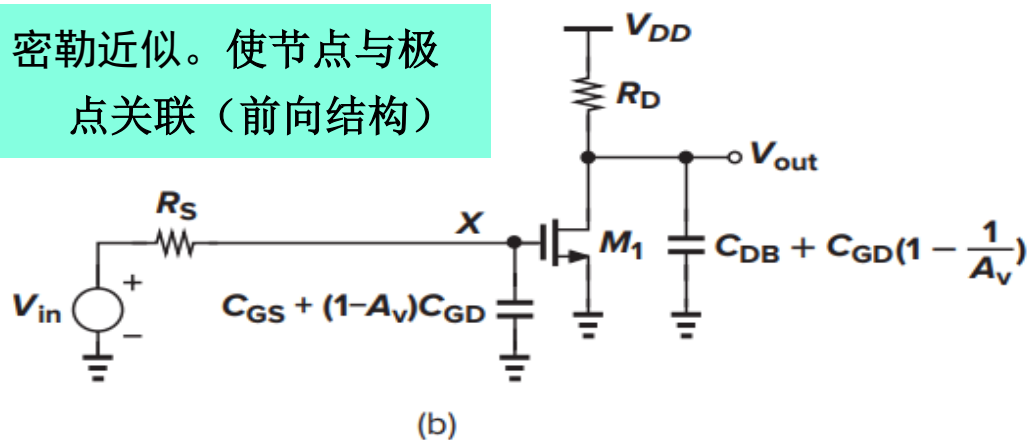




## 6.2 共源级的频率特性



密勒近似。使节点与极点关联（前向结构）



低频增益  $A_0 \approx -g_m R_D$

输出节点:  $C_{DB} + (1 - A_v^{-1})C_{GD} \approx C_{DB} + C_{GD}$

$$\frac{V_{GS}}{V_{in}} = \frac{\frac{1}{s[C_{GS} + (1 + g_m R_D)C_{GD}]}}{R_S + \frac{1}{s[C_{GS} + (1 + g_m R_D)C_{GD}]}} = \frac{1}{1 + sR_S[C_{GS} + (1 + g_m R_D)C_{GD}]} = \frac{1}{1 + \frac{s}{\omega_{in}}}$$

$$V_{out} \text{ 变小: } \frac{g_m \left( R_D \parallel \frac{1}{s(C_{DB} + C_{GD})} \right)}{g_m R_D} = \frac{1}{1 + sR_D(C_{DB} + C_{GD})} = \frac{1}{1 + \frac{s}{\omega_{out}}}$$





# 采用密勒近似得到的传输函数估算

$$\frac{V_{out}}{V_{in}}(s) = \frac{-g_m R_D}{\left(1 + \frac{s}{\omega_{in}}\right) \left(1 + \frac{s}{\omega_{out}}\right)}$$

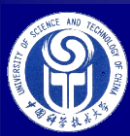
**Miller**定律截断了输入输出前向通路,导致零点丢失,仅用作极点的近似计算.

极点的物理意义:

- (1) 带宽: 最低频极点 (主极点) 一般为3dB带宽截止频率。
- (2) 与负反馈系统稳定性密切相关 (也与零点相关)。

多极点 (级联) 电路的总带宽变窄:

低通 (高频截止) 滤波器:  $\frac{1}{\omega_{total}^2} \approx \frac{1}{\omega_1^2} + \frac{1}{\omega_2^2} + \dots + \frac{1}{\omega_n^2}$



# 直接分析 Obtain the exact transfer function

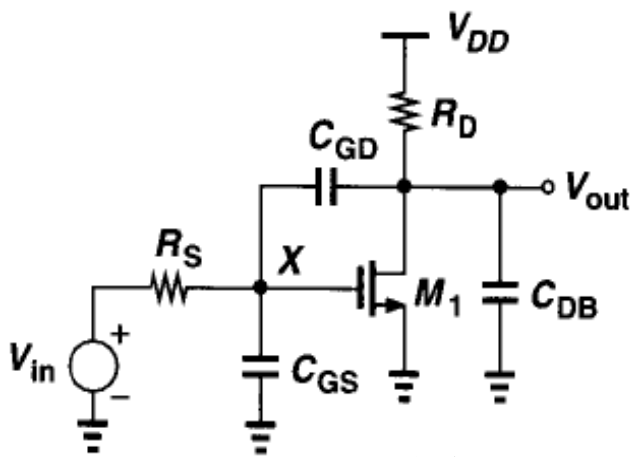


图6.13

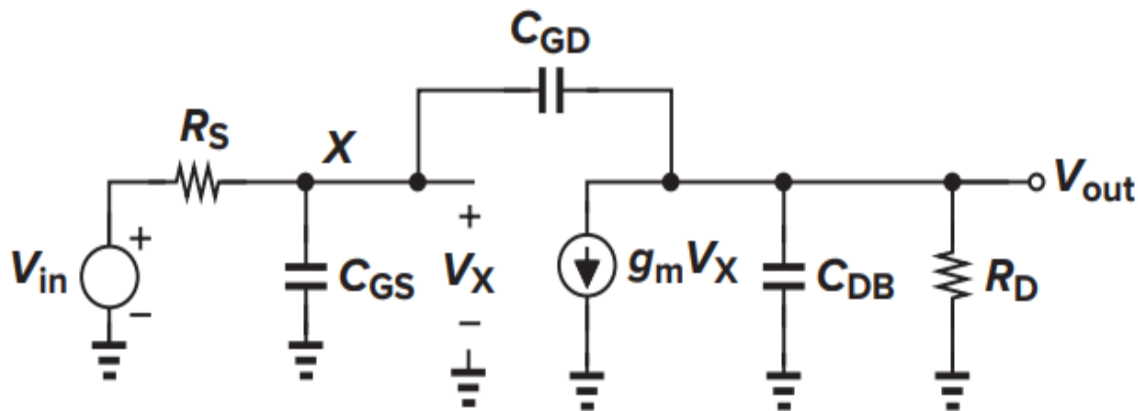


图6.15

$$\frac{V_X - V_{in}}{R_S} + V_X C_{GS} s + (V_X - V_{out}) C_{GD} s = \frac{-V_{in}}{R_S} - V_{out} C_{GD} s + V_X \left( \frac{1}{R_S} + C_{GS} s + C_{GD} s \right) = 0$$

$$(V_{out} - V_X) C_{GD} s + g_m V_X + V_{out} \left( \frac{1}{R_D} + C_{DB} s \right) = 0 \quad (6.27)$$

$$\Rightarrow V_X = - \frac{\frac{1}{R_D} + C_{DB} s + C_{GD} s}{g_m - C_{GD} s} V_{out}$$



# Obtain the exact transfer function (cont.)

$$\frac{-V_{in}}{R_s} - V_{out}C_{GD}s - \frac{\frac{1}{R_D} + C_{DB}s + C_{GD}s}{g_m - C_{GD}s} V_{out} \left( \frac{1}{R_s} + C_{GS}s + C_{GD}s \right) = 0$$

$$\frac{V_{out}}{V_{in}}(s) = \frac{-\frac{1}{R_s}}{C_{GD}s + \frac{\frac{1}{R_D} + C_{DB}s + C_{GD}s}{g_m - C_{GD}s} \left( \frac{1}{R_s} + C_{GS}s + C_{GD}s \right)}$$

$$= \frac{-(g_m - C_{GD}s)R_D}{R_s R_D C_{GD}s (g_m - C_{GD}s) + [1 + R_D(C_{DB} + C_{GD})s][1 + R_s(C_{GS} + C_{GD})s]}$$

$$= \frac{-(g_m - C_{GD}s)R_D}{R_s R_D \xi s^2 + [R_s(1 + g_m R_D)C_{GD} + R_s C_{GS} + R_D(C_{DB} + C_{GD})]s + 1}$$

$$\xi = C_{GS}C_{DB} + C_{GS}C_{GD} + C_{GD}C_{DB} \quad \text{3电容两两乘积之和, 仅2电容独立}$$

(6.30)



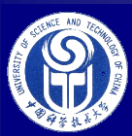
# Obtain the exact transfer function (cont.)

$$\begin{aligned} \frac{V_{out}}{V_{in}}(s) &= \frac{-(g_m - C_{GD}s)R_D}{R_S R_D \xi s^2 + [R_S(1 + g_m R_D)C_{GD} + R_S C_{GS} + R_D(C_{DB} + C_{GD})]s + 1} \\ &= \frac{-g_m R_D(1 - \frac{s}{\omega_z})}{\left(1 + \frac{s}{\omega_{p1}}\right)\left(1 + \frac{s}{\omega_{p2}}\right)} = A_0 \frac{1 - \frac{s}{\omega_z}}{\left(1 + \frac{s}{\omega_{p1}}\right)\left(1 + \frac{s}{\omega_{p2}}\right)} \quad (6.30) \end{aligned}$$

2极点, 1零点

设主极点 $\omega_{p1} \ll$  次极点 $\omega_{p2}$

$$\left(1 + \frac{s}{\omega_{p1}}\right)\left(1 + \frac{s}{\omega_{p2}}\right) = \frac{s^2}{\omega_{p1}\omega_{p2}} + \left(\frac{1}{\omega_{p1}} + \frac{1}{\omega_{p2}}\right)s + 1 \approx \frac{s^2}{\omega_{p1}\omega_{p2}} + \frac{s}{\omega_{p1}} + 1$$



# 直观方法（密勒定律）可简单估算极点

直接分析得到:  $\omega_{p1} \approx \frac{1}{R_S(1 + g_m R_D)C_{GD} + R_S C_{GS} + R_D(C_{DB} + C_{GD})}$

密勒近似得到:  $\omega_{in} \approx \frac{1}{R_S[(1 + g_m R_D)C_{GD} + C_{GS}]}$

直接分析得到:  $\omega_{p2} = \frac{1}{\omega_{p1} R_S R_D \xi}$

$\approx \frac{R_S(1 + g_m R_D)C_{GD} + R_S C_{GS} + R_D(C_{DB} + C_{GD})}{R_S R_D (C_{GS} C_{DB} + C_{GS} C_{GD} + C_{GD} C_{DB})} \quad (C_{GD} \ll C_{GS})$

若  $R_S C_{GS}$  很大或  $R_D$  很小（负载阻抗小）时  $\omega_{p2} \Rightarrow \frac{1}{R_D(C_{GD} + C_{DB})}$

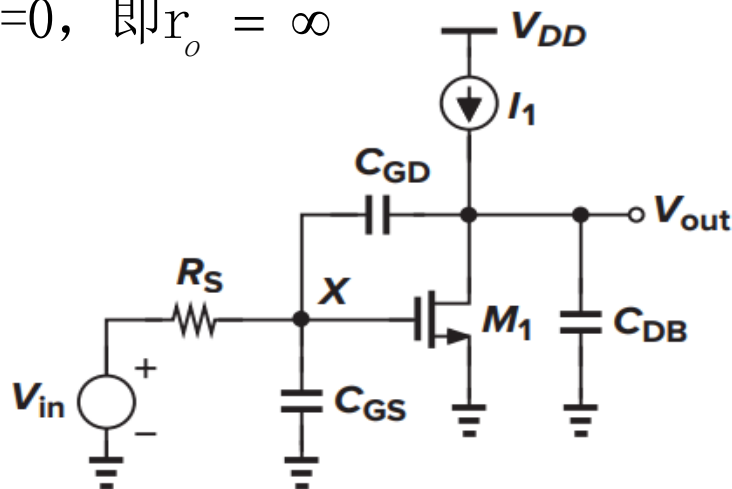
密勒近似得到:  $\omega_{out} \approx \frac{1}{R_D(C_{GD} + C_{DB})}$  次极点估算误差较大

输入阻抗与输出有关时，节点与极点难以关联

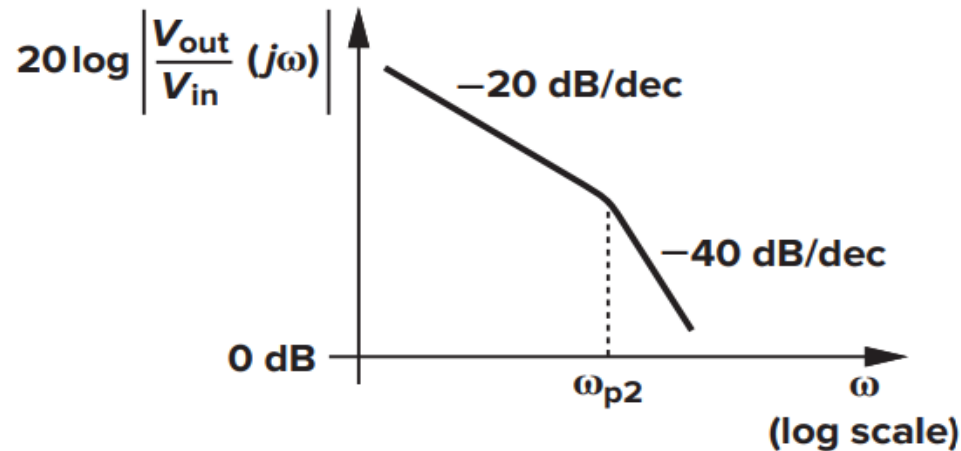


## 例6.7 计算传递函数

设 $\lambda=0$ , 即 $r_o = \infty$



(a)



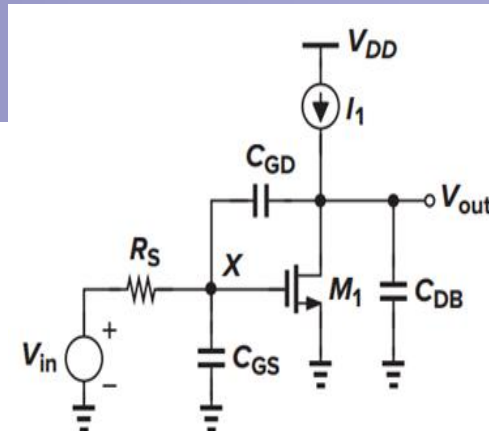
(b)

由 (6.30) 代入 $R_D=\infty$ ,  $\therefore \frac{V_{out}}{V_{in}}(s)$

$$\begin{aligned}
 &= \frac{-(g_m - C_{GD}s)R_D}{R_S R_D \xi s^2 + [R_S(1 + g_m R_D)C_{GD} + R_S C_{GS} + R_D(C_{DB} + C_{GD})]s + 1} \\
 &= \frac{-(g_m - C_{GD}s)}{R_S \xi s^2 + [R_S g_m C_{GD} + (C_{DB} + C_{GD})]s} = \frac{-(g_m - C_{GD}s)}{s [R_S \xi s + g_m R_S C_{GD} + (C_{DB} + C_{GD})]}
 \end{aligned}$$



# 例6.7 计算传递函数（续）



$$\frac{V_{out}}{V_{in}}(s) = \frac{-(g_m - C_{GD}s)}{s[R_S\xi s + g_m R_S C_{GD} + (C_{DB} + C_{GD})] - g_m \left(1 - \frac{s}{g_m / C_{GD}}\right)}$$

$$= \frac{s \left[1 + \frac{s}{\frac{g_m R_S C_{GD} + (C_{DB} + C_{GD})}{R_S \xi}}\right] [g_m R_S C_{GD} + (C_{DB} + C_{GD})]}{R_S \xi}$$

$$\omega_{p2} = \frac{g_m R_S C_{GD} + (C_{DB} + C_{GD})}{R_S \xi} = \frac{(1 + g_m R_S) C_{GD} + C_{DB}}{R_S (C_{GS} C_{DB} + C_{GS} C_{GD} + C_{GD} C_{DB})}$$

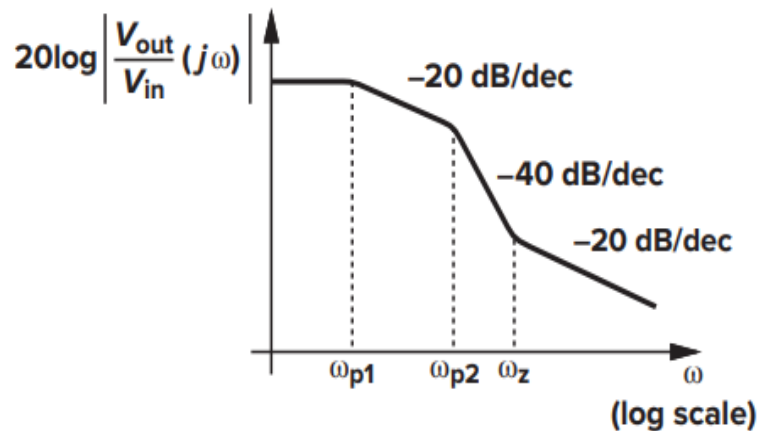
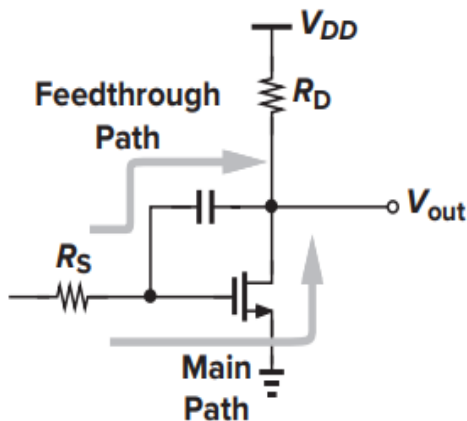
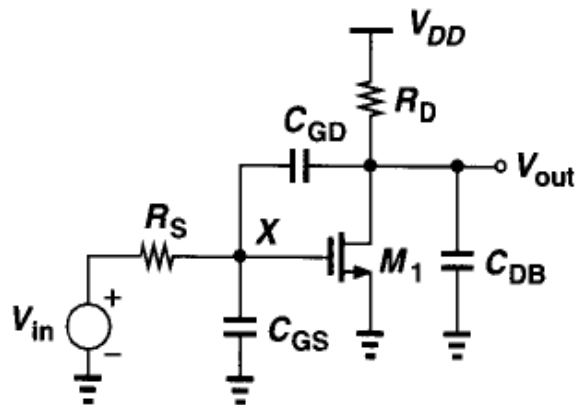
若  $C_{DB}$  很大(假设, 实际不可能),  $\omega_{p2} \approx \frac{1}{R_S (C_{GS} + C_{GD})} = \omega_X = \omega_{in}$

$s = 0$  时直流增益无穷大, 是由输出节点的理想电流源产生。

$C_{DB}$  很大使得高频时输出近似为0,  $C_{GS} + C_{GD}$  并联, 密勒效应消失



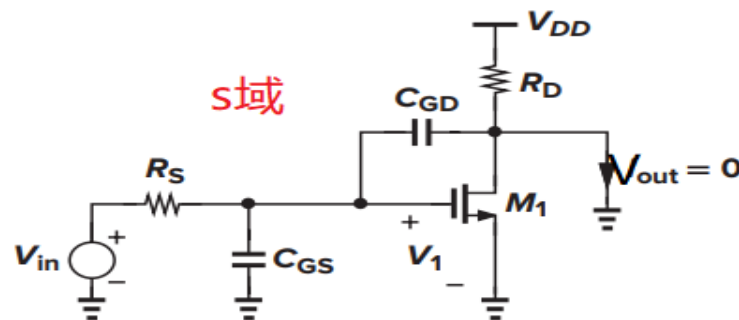
# 零点 (s域) 的产生



$$\frac{V_{out}}{V_{in}}(s) = \frac{-(g_m - C_{GD}s)R_D}{R_S R_D s^2 + [R_S(1 + g_m R_D)C_{GD} + R_S C_{GS} + R_D(C_{DB} + C_{GD})]s + 1}$$

$$\text{令 } \frac{V_{out}}{V_{in}}(s) = 0, \text{ 则 } (g_m - C_{GD}s) = g_m \left(1 - \frac{s}{s_Z}\right) = 0, \quad s_Z = \frac{g_m}{C_{GD}}$$

$g_m - C_{GD}s = 0$  可理解为 MOS 输出接地 (交流短路) 时  $V_{in}$  通过  $g_m$  和  $C_{GD}$  的电流相等 (输出汇合点相减, - 的来源)





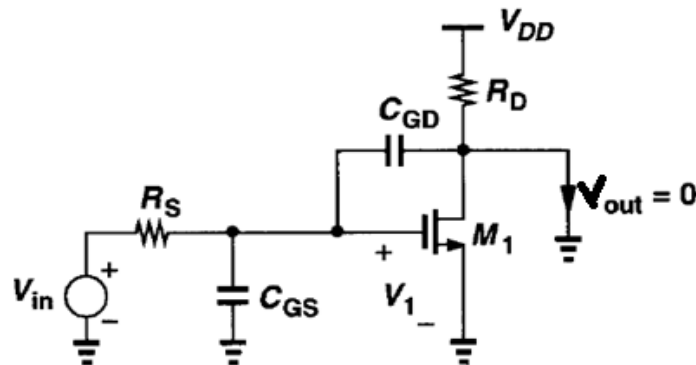


# Calculation of the zero

稳态响应  $s=j\omega$ ,  $g_m - C_{GD}s = g_m - j\omega C_{GD} = g_m(1 - j \frac{\omega}{g_m/C_{GD}}) = 0$

$\omega = \omega_z = g_m/C_{GD}$  时, 上式  $= g_m(1 - j)$  实部 (阻性) 和虚部 (容性) 电流相等

大于零点频率后, 在输出负载上, 由输入输出之间路径传输的容性虚信号将超过阻性实信号。



零点计算: 令输出短路  $V_{out}=0$ , 得到阻容两支路相同分量:

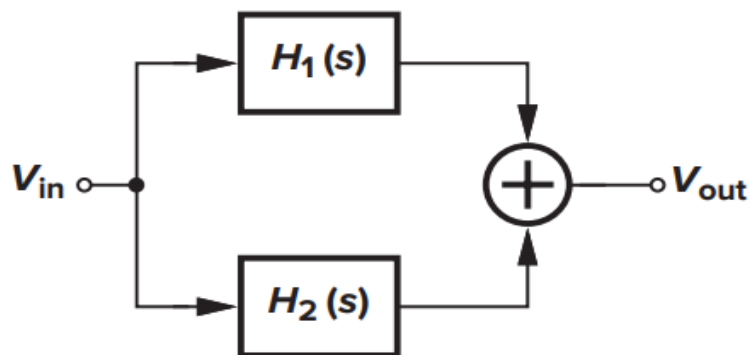
$$V_1 C_{GD} s_z = g_m V_1, \Rightarrow s_z = \frac{g_m}{C_{GD}}$$

$s_z$  很大, 即零点频率很高

零点意义: 输入输出有阻容两条支路, 在零点频率时传输的电流幅度相等, 即阻容两条支路阻抗的模相同。零点频率上总输出电流的模增大  $|1 \pm j| = \sqrt{2}$  倍



# 两个一阶低通电路并联会产生零点



$$H_1(s) = \frac{A_1}{1 + \frac{s}{\omega_{p1}}}, \quad H_2(s) = \frac{A_2}{1 + \frac{s}{\omega_{p2}}}$$

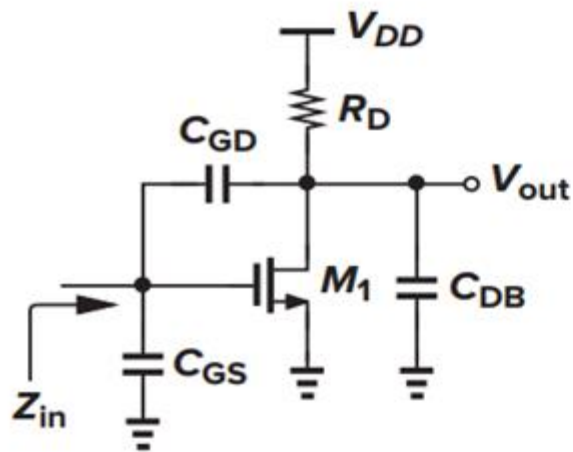
$$\frac{V_{out}}{V_{in}}(s) = H_1(s) + H_2(s) = \frac{A_1}{1 + \frac{s}{\omega_{p1}}} + \frac{A_2}{1 + \frac{s}{\omega_{p2}}}$$

$$= \frac{\left( \frac{A_1}{\omega_{p2}} + \frac{A_2}{\omega_{p1}} \right) s + A_1 + A_2}{\left( 1 + \frac{s}{\omega_{p1}} \right) \left( 1 + \frac{s}{\omega_{p2}} \right)} = (A_1 + A_2) \frac{1 + \frac{s}{\omega_z}}{\left( 1 + \frac{s}{\omega_{p1}} \right) \left( 1 + \frac{s}{\omega_{p2}} \right)}$$

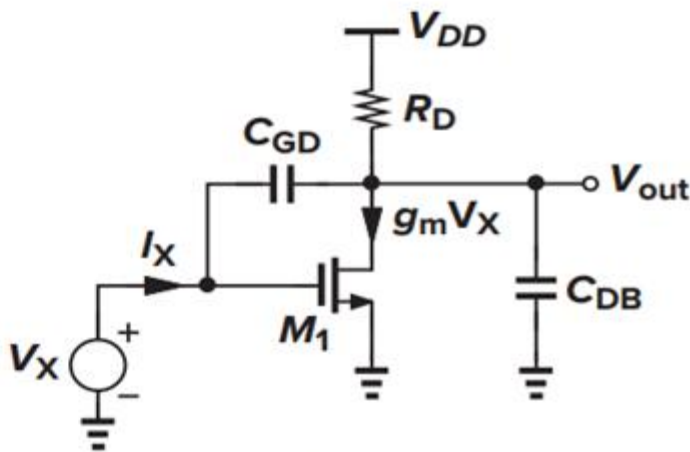
$$\text{式中 } \omega_z = \frac{A_1 + A_2}{\frac{A_1}{\omega_{p2}} + \frac{A_2}{\omega_{p1}}} = \omega_{p1} \frac{1 + \frac{A_1}{A_2}}{1 + \frac{A_1 \omega_{p1}}{A_2 \omega_{p2}}} > \omega_{p1}$$



# Calculation of input impedance of CS stage



(a)



(b)

精确计算技巧：  
先不计C<sub>GS</sub>

低频时，增益约为  $-g_m R_D$

密勒近似  $Z_{in} = \frac{V_X}{I_X} = \frac{1}{[C_{GS} + (1 + g_m R_D)C_{GD}]s}$  较准

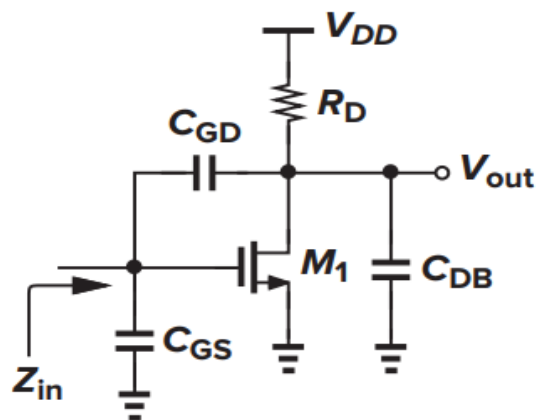
但在高频时，增益与输出节点有关，密勒近似不准确。

精确计算：因C<sub>GS</sub>接地，可先不计，后并联上即可。

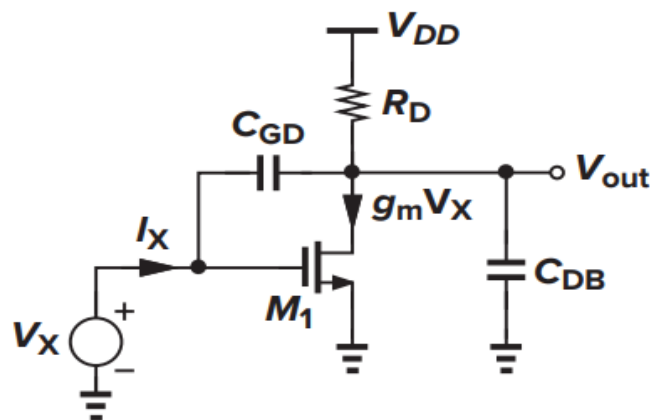
$$(I_X - g_m V_X) \left( R_D \parallel \frac{1}{C_{DB}s} \right) + \frac{I_X}{C_{GD}s} = V_X$$



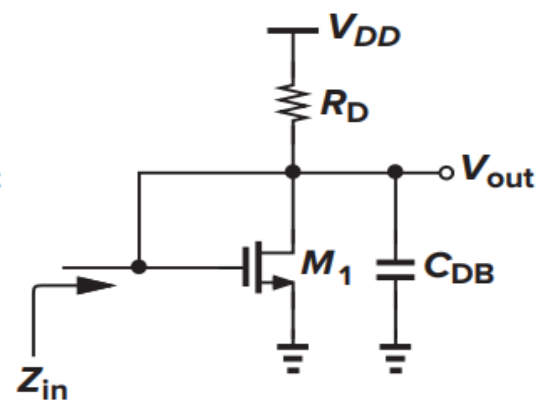
# Calculation of input impedance (cont.)



(a)



(b)



(c)

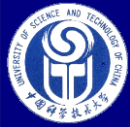
$$\Rightarrow (I_X - g_m V_X) \frac{R_D}{1 + R_D C_{DB} s} + \frac{I_X}{C_{GD} s} = V_X$$

$C_{GD}$  很大, 没意义

$$Z_{in} = \frac{V_X}{I_X} \parallel \frac{1}{C_{GS} s} = \frac{1 + R_D (C_{GD} + C_{DB}) s}{C_{GD} s (1 + g_m R_D + R_D C_{DB} s)} \parallel \frac{1}{C_{GS} s}$$

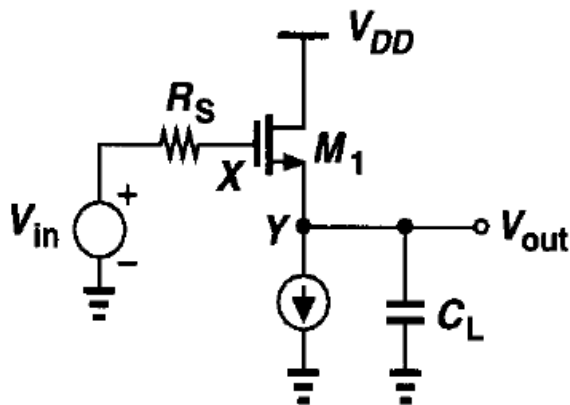
低频 ( $s$  小) 时  $R_D (C_{GD} + C_{DB}) s \ll 1$ , 且  $1 + g_m R_D \gg R_D C_{DB} s$ ,

$$\text{则 } Z_{in} \approx \frac{1}{C_{GD} s (1 + g_m R_D)} \parallel \frac{1}{C_{GS} s}$$



## 6.3 Source Followers 源跟随器的频率特性

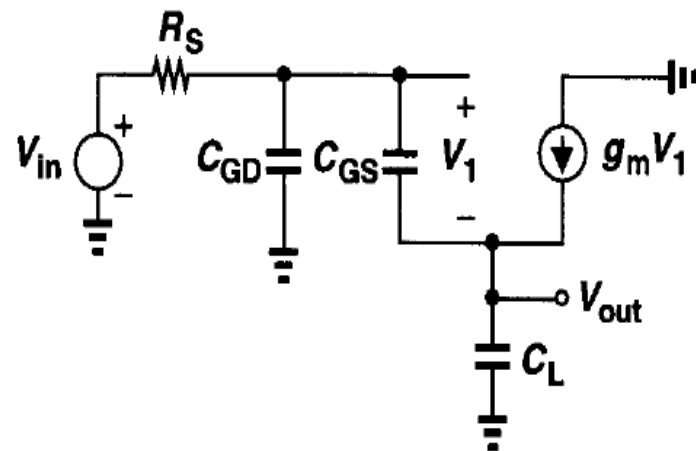
用于缓冲或电平移位



SF低频增益:

$$A_v = \frac{g_m R_S}{1 + (g_m + g_{mb}) R_S}$$

上式中  $R_S$  是 MOS 源极电阻, 不是左图信号源电阻



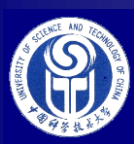
理想电流源电阻无穷大

X和Y点通过 $C_{GS}$ 有很强的相互作用, 极点无法与相应的单独结点进行关联; 且SF为同向输入输出, 因此不适用密勒定律计算输出阻抗。

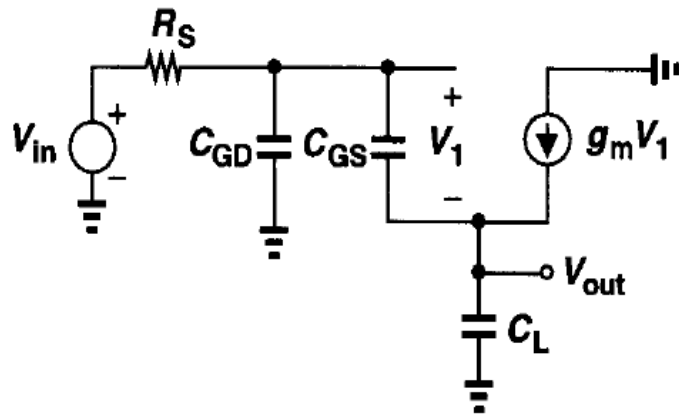
$$V_1 C_{GS} s + g_m V_1 = V_{out} C_L s,$$

$$\Rightarrow V_1 = \frac{C_L s}{C_{GS} s + g_m} V_{out}$$

暂不计MOS管的二阶效应, 主要是 $1/g_{mb}$



# Source Followers (cont.)



$$V_{in} = R_S[V_1 C_{GS} s + (V_1 + V_{out}) C_{GD} s] + V_1 + V_{out}$$

2个极点1个零点，  
注意零点极性

$$\frac{V_{out}}{V_{in}}(s) = \frac{g_m + C_{GS} s}{R_S(C_{GS} C_L + C_{GS} C_{GD} + C_{GD} C_L) s^2 + (g_m R_S C_{GD} + C_L + C_{GS}) s + g_m}$$

$$\frac{V_{out}}{V_{in}}(s) = \frac{1 + \frac{C_{GS}}{g_m} s}{\frac{R_S}{g_m} \xi s^2 + (R_S C_{GD} + \frac{C_L + C_{GS}}{g_m}) s + 1} = \frac{1 + \frac{s}{\omega_z}}{\left(1 + \frac{s}{\omega_{p1}}\right) \left(1 + \frac{s}{\omega_{p2}}\right)}$$

乘以低频增益

式中  $\xi = C_{GS} C_L + C_{GS} C_{GD} + C_{GD} C_L$ ,  $\omega_{p1} \approx \frac{g_m}{g_m R_S C_{GD} + C_L + C_{GS}}$ ,  $\omega_z = \frac{g_m}{C_{GS}}$



# Input impedance of SF

$$V_X = \frac{I_X}{C_{GS}S} + (I_X + \frac{g_m I_X}{C_{GS}S}) \times (\frac{1}{g_{mb}} \parallel \frac{1}{C_L S})$$

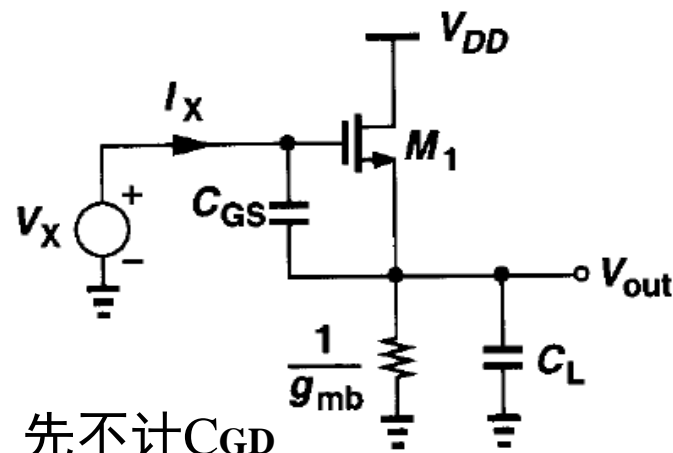
$$Z_{in} = \frac{1}{C_{GS}S} + (1 + \frac{g_m}{C_{GS}S}) \times \frac{1}{g_{mb} + C_L S}, \quad (6.58)$$

低频时:  $Z_{in} \approx \frac{1}{C_{GS}S} + \frac{g_m}{C_{GS}S} \times \frac{1}{g_{mb}} = \frac{g_m + g_{mb}}{sC_{GS}g_{mb}}$

$= \frac{1}{sC_{GS} \frac{g_{mb}}{g_m + g_{mb}}}$  相当于使  $C_{GS}$  大大减小, 自举

总输入电容 (低频)  $= C_{GS} \frac{g_{mb}}{g_m + g_{mb}} \parallel C_{GD}$

高频时:  $Z_{in} = \frac{V_X}{I_X} \approx \frac{1}{C_{GS}S} + (1 + \frac{g_m}{C_{GS}S}) \times \frac{1}{sC_L} = \frac{1}{sC_{GS}} + \frac{1}{sC_L} + \frac{g_m}{C_{GS}C_L S^2}$  负阻

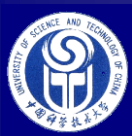


先不计  $C_{GD}$

低频  $A_v = \frac{g_m}{g_m + g_{mb}}$

密勒近似输入电容

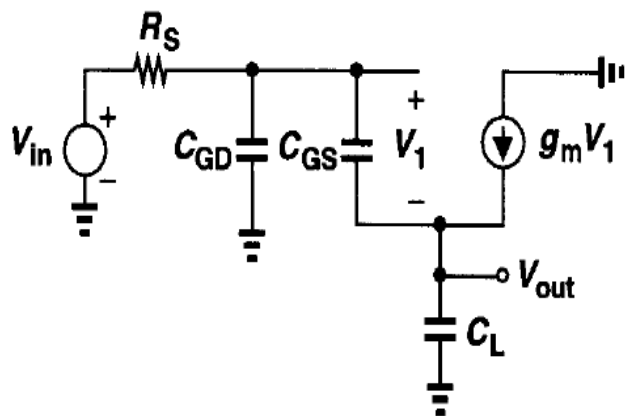
$= (1 - A_v)C_{GS} = C_{GS} \frac{g_{mb}}{g_m + g_{mb}}$



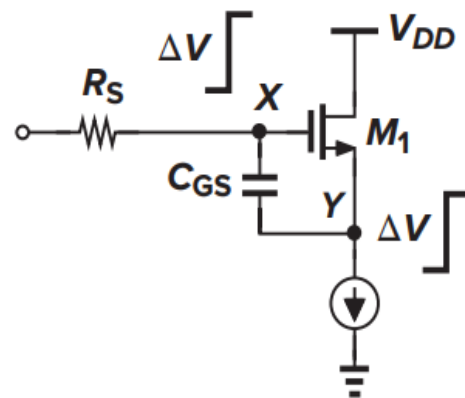
## 例6.11 $C_L=0$ 源跟随器的传输函数

$$\frac{V_{out}}{V_{in}}(s) = \frac{1 + \frac{C_{GS}}{g_m} s}{\frac{R_S}{g_m} \xi s^2 + (R_S C_{GD} + \frac{C_L + C_{GS}}{g_m}) s + 1} \quad \text{式中 } \xi = C_{GS} C_{GD}$$

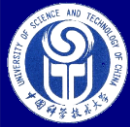
$$= \frac{1 + \frac{C_{GS}}{g_m} s}{\frac{C_{GS}}{g_m} \times R_S C_{GD} s^2 + (R_S C_{GD} + \frac{C_{GS}}{g_m}) s + 1} = \frac{1}{1 + R_S C_{GD} s}$$



栅极到源极电压增益为1， $C_{GS}$ 上电压不变，电流为0，相当于消失，既不贡献极点也不贡献零点。 $C_{GS}$ 被源跟随器“自举”，称为**自举电容**







# 源跟随器高频输入阻抗中负阻分量的讨论

高频时:  $Z_{in} = \frac{V_X}{I_X} \approx \frac{1}{C_{GS}s} + (1 + \frac{g_m}{C_{GS}s}) \times \frac{1}{sC_L} = \frac{1}{sC_{GS}} + \frac{1}{sC_L} + \frac{g_m}{C_{GS}C_Ls^2}$  负阻

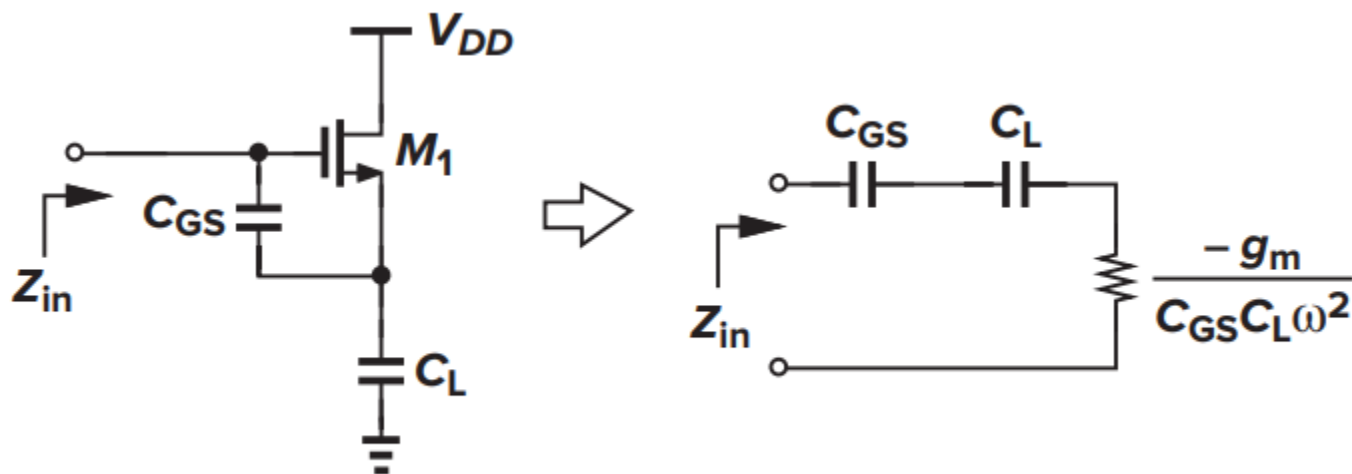
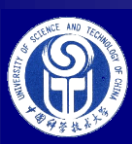
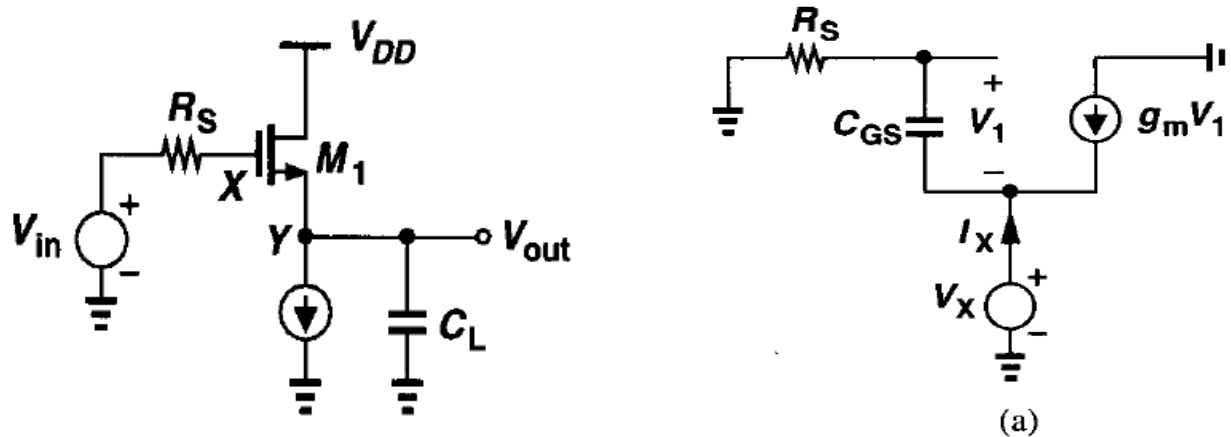


Figure 6.26 Negative resistance seen at the input of a source follower.

负阻在反馈电路中实质上相当于正反馈。原则上在放大电路中可能引起不稳定，可应用产生振荡器电路，或用于提高电路速度（带宽）。



# Output impedance of SF



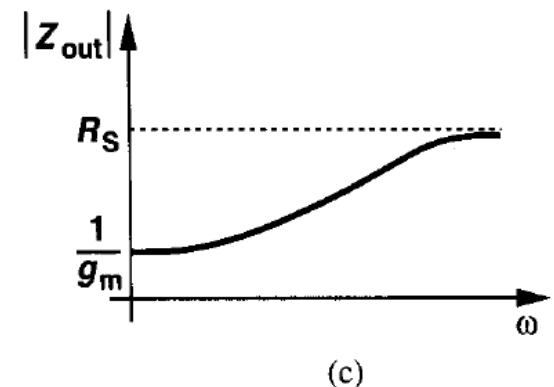
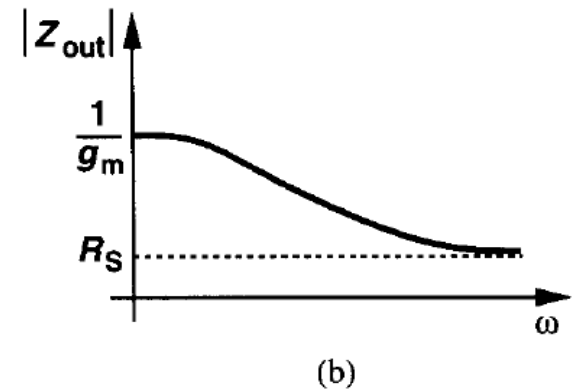
体效应产生的等效电阻  $1/g_{mb}$ 、 $r_o$ 、 $C_{SB}$  位于输出到地, 均先不计, 最后并联, 以简化计算

设可忽略  $C_{GD}$ ,  $V_1 C_{GS} s + g_m V_1 = -I_X$

$$V_1 + V_X = -V_1 C_{GS} s R_S$$

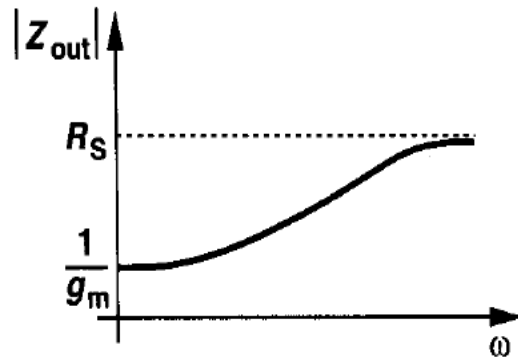
$$\therefore Z_{out} = \frac{V_X}{I_X} = \frac{R_S C_{GS} s + 1}{g_m + C_{GS} s}$$

$$s = 0 \text{ 时 } Z_{out} = \frac{1}{g_m}, \quad s = \infty \text{ 时 } Z_{out} = R_S$$

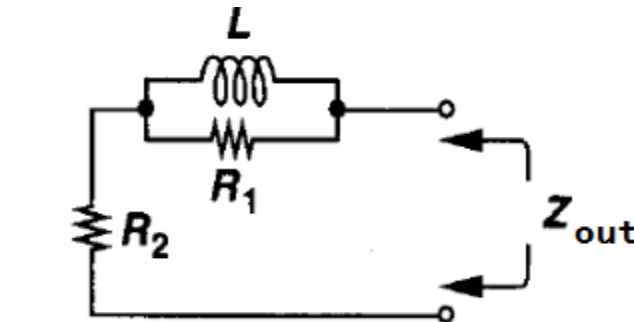




# Output impedance of SF (cont.)



(c)



$$R_2 = \frac{1}{g_m}, \quad R_S = R_2 + R_1$$

$$\begin{aligned} Z_{out} &= R_2 + sL \parallel R_1 \\ &= \frac{1}{g_m} + sL \parallel \left(R_S - \frac{1}{g_m}\right) \\ &= \frac{R_S C_{GS} s + 1}{g_m + C_{GS} s} \end{aligned}$$

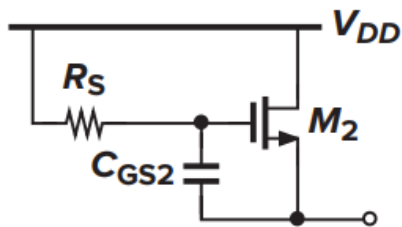
$$\begin{aligned} Z_{out} - R_2 &= Z_{out} - \frac{1}{g_m} = \frac{R_S C_{GS} s + 1}{g_m + C_{GS} s} - \frac{1}{g_m} = \frac{C_{GS} s (R_S - \frac{1}{g_m})}{g_m + C_{GS} s} \\ \frac{1}{Z_{out} - \frac{1}{g_m}} &= \frac{g_m + C_{GS} s}{C_{GS} s (R_S - \frac{1}{g_m})} = \frac{1}{R_S - \frac{1}{g_m}} + \frac{g_m}{C_{GS} s (R_S - \frac{1}{g_m})} = \frac{1}{R_1} + \frac{1}{sL} \end{aligned}$$

$$\therefore L = \frac{C_{GS}}{g_m} \left(R_S - \frac{1}{g_m}\right) \text{ 有源电感, Q值很低}$$

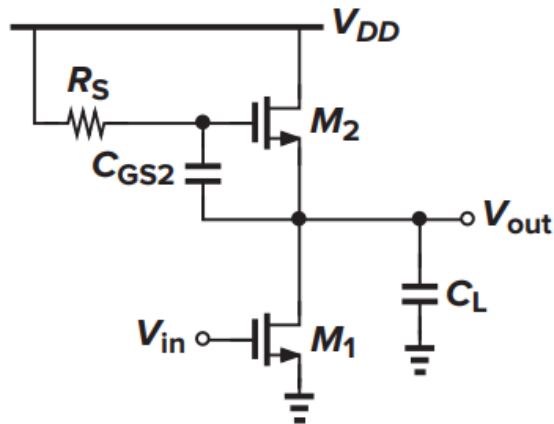
$$\text{令 } \frac{\partial L}{\partial g_m} = 0 \Rightarrow \frac{1}{g_m} = \frac{R_S}{2} \text{ 时 } L_{\max} = \frac{C_{GS} R_S^2}{4}, \quad C_{GS} \text{ 可以是外接电容}$$



# 有源电感



(a)



(b)

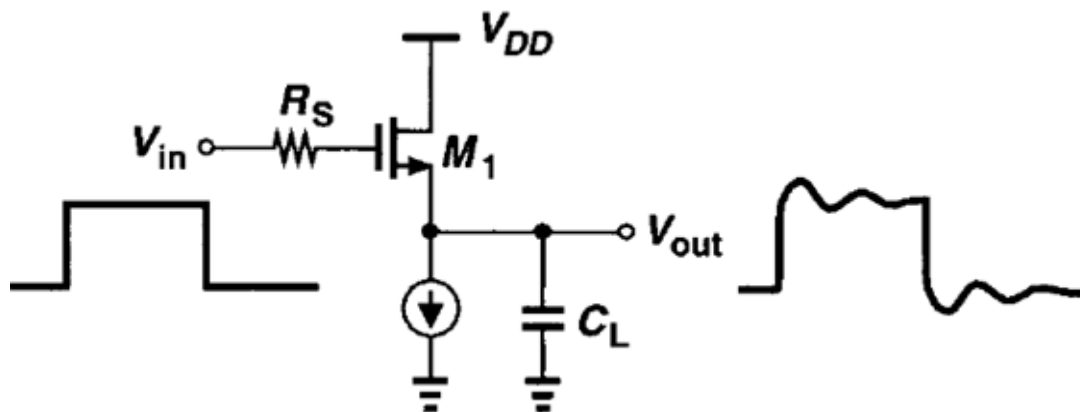
$$L = \frac{C_{GS2}}{g_{m2}} \left( R_S - \frac{1}{g_{m2}} \right)$$

Q值很低。

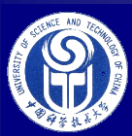
提升高频阻抗。

以减小输出电压余度 ( $V_{GS2}$ ) 为代价。

可用于高速接口均衡电路、超宽带放大器中提高带宽。

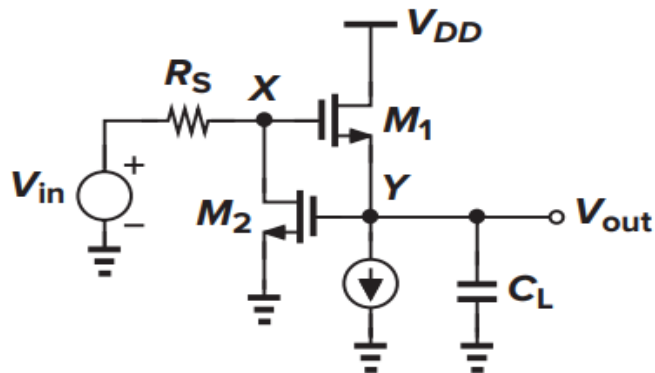


有源电感使源跟随器阶跃响应信号的输出边沿出现振荡或过冲

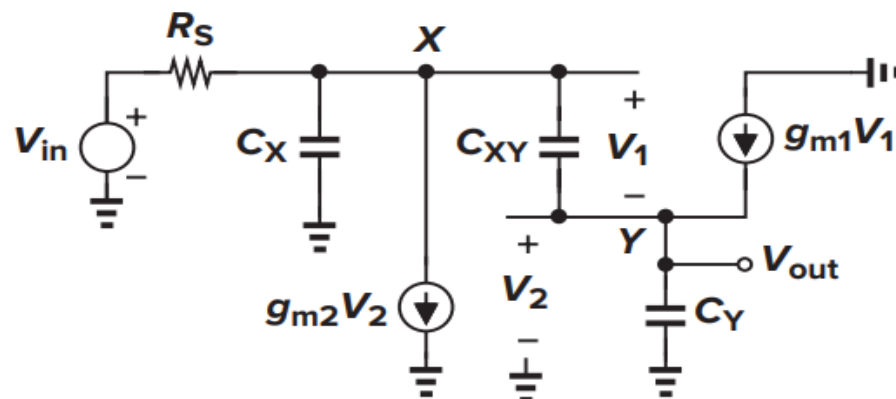


# Example 6.13\* 计算传递函数

Neglecting channel-length modulation and body effect, calculate the transfer function of the circuit shown in Fig. 6.27(a).



(a)



(b)

$$C_X = C_{GD1} + C_{DB2}, C_{XY} = C_{GS1} + C_{GD2},$$

$$C_Y = C_{SB1} + C_{GS2} + C_L,$$

X点电流:

$$(V_1 + V_{out})C_X s + g_{m2}V_{out} + V_1 C_{XY} s = \frac{V_{in} - V_1 - V_{out}}{R_S}$$



# Example 6.13 (cont.)

$V_{out}$  电流:

$$V_1 C_{XY} s + g_{m1} V_1 = V_{out} C_Y s$$

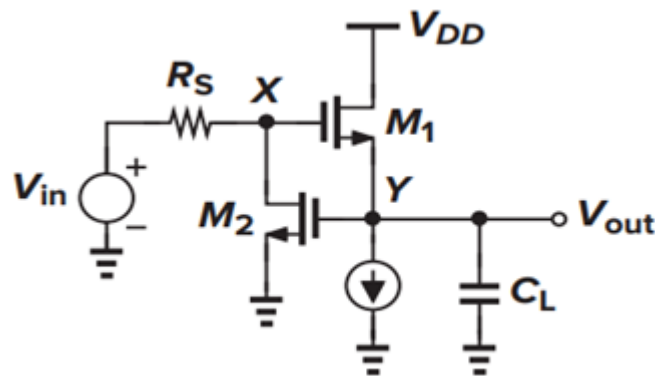
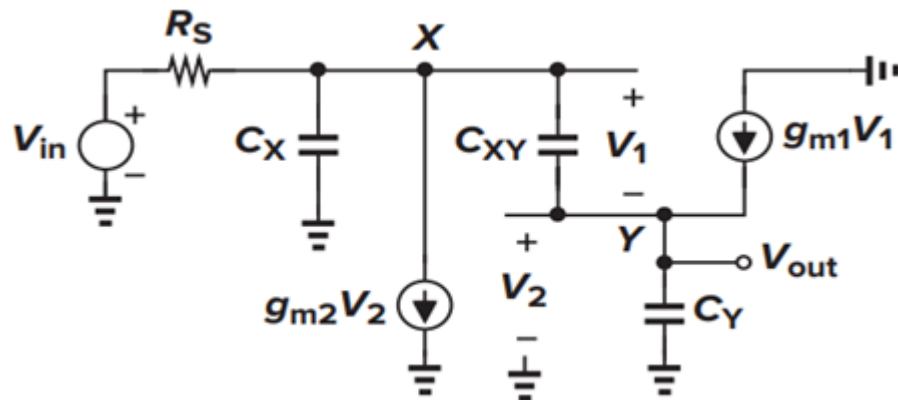
$$\text{hence } V_1 = V_{out} C_Y s / (C_{XY} s + g_{m1})$$

$$V_2 = V_{out}$$

$$\frac{V_{out}}{V_{in}}(s) = \frac{g_{m1} + C_{XY} s}{R_S \xi s^2 + [C_Y + g_{m1} R_S C_X + (1 + g_{m2} R_S) C_{XY}] s + g_{m1} (1 + g_{m2} R_S)}$$

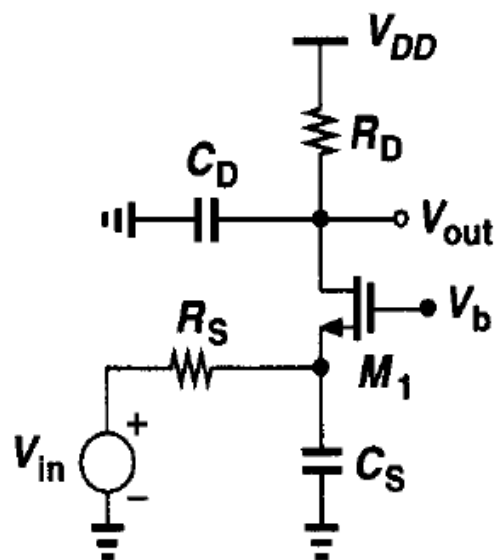
$$\text{where } \xi = C_X C_Y + C_X C_{XY} + C_Y C_{XY}$$

利用增加M2改变零极点设计。  
本例实质上是负反馈电路，  
增益太小，基本上无实际用途





## 6.4 Common-gate stage 共栅级的频率特性



(忽略沟道长度调制效应)

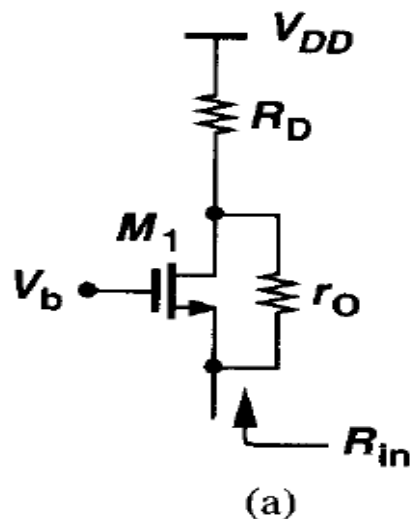
$$\frac{V_{out}}{V_{in}}(s) = \frac{(g_m + g_{mb})R_D}{1 + (g_m + g_{mb})R_S} \frac{1}{\left(1 + \frac{C_S}{g_m + g_{mb} + R_S^{-1}}s\right)(1 + R_D C_D s)}$$



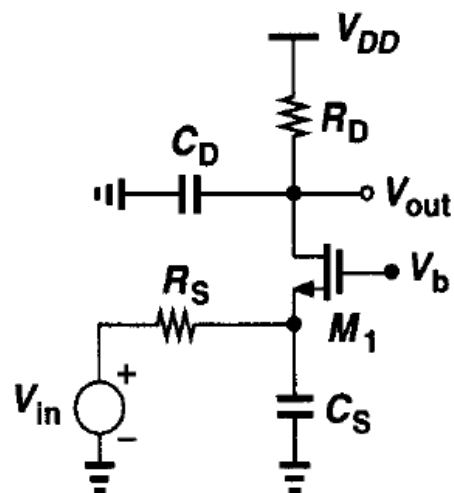
# 沟道长度调制不能忽略时

$\lambda \neq 0$

## 第三章



$$\frac{V_X}{I_X} = \frac{R_D + r_O}{1 + (g_m + g_{mb})r_O}$$
$$\approx \frac{R_D}{(g_m + g_{mb})r_O} + \frac{1}{g_m + g_{mb}},$$



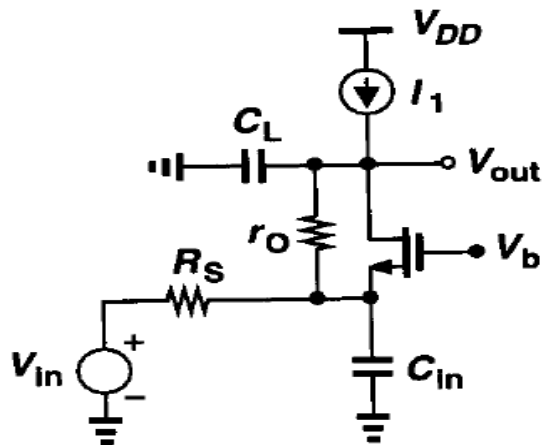
$$Z_{in} \approx \frac{Z_L}{(g_m + g_{mb})r_O} + \frac{1}{g_m + g_{mb}},$$

where  $Z_L = R_D \parallel [1/(C_D s)]$

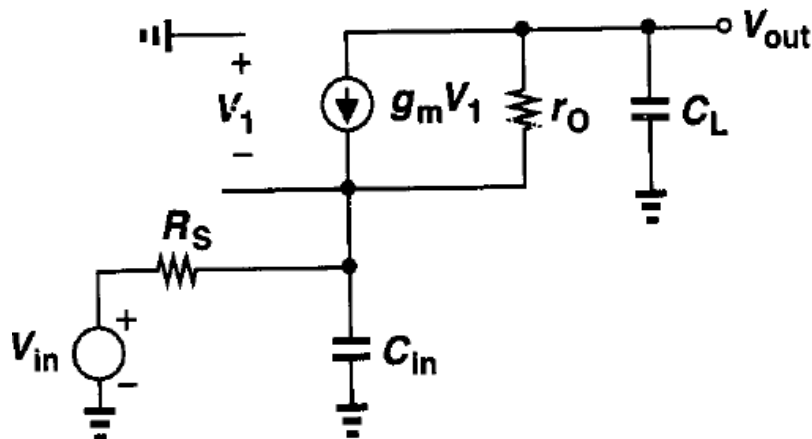




# Example 6.15: 计算传递函数和输入阻抗



(a)



(b)

$$(-V_{out}C_Ls + V_1C_{in}s)R_S + V_{in} = -V_1$$

$$V_1 = -\frac{-V_{out}C_LsR_S + V_{in}}{1 + C_{in}R_Ss}$$

$$r_O(-V_{out}C_Ls - g_m V_1) - V_1 = V_{out}$$



## Example 6.15 (cont.)

$$\frac{V_{out}}{V_{in}}(s) = \frac{1 + g_m r_O}{r_O C_L C_{in} R_S s^2 + [r_O C_L + C_{in} R_S + (1 + g_m r_O) C_L R_S] s + 1}$$

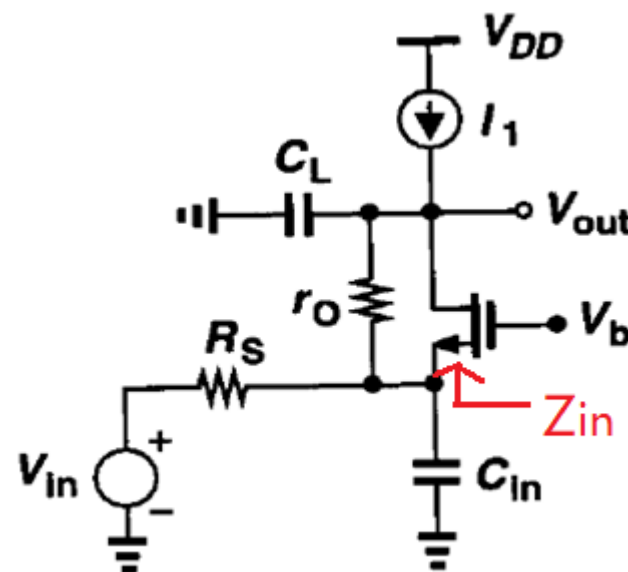
body effect can be included by simply replacing  $g_m$  with  $g_m + g_{mb}$ .

$$Z_{in} \approx \frac{Z_L}{(g_m + g_{mb}) r_O} + \frac{1}{g_m + g_{mb}}$$

$$Z_{in} = \frac{1}{g_m + g_{mb}} + \frac{1}{C_L s} \cdot \frac{1}{(g_m + g_{mb}) r_O}$$

高频:  
s较大时

$$\omega_{p,in} = \frac{1}{\left( R_S \parallel \frac{1}{g_m + g_{mb}} \right) C_{in}}$$



$C_L$ 使高频增益降低, 抑制了密勒效应



## 6.5 Cascode 频率特性

$$A \text{ 到 } X \text{ 的增益} \approx \frac{-g_{m1}}{g_{m2} + g_{mb2}}$$

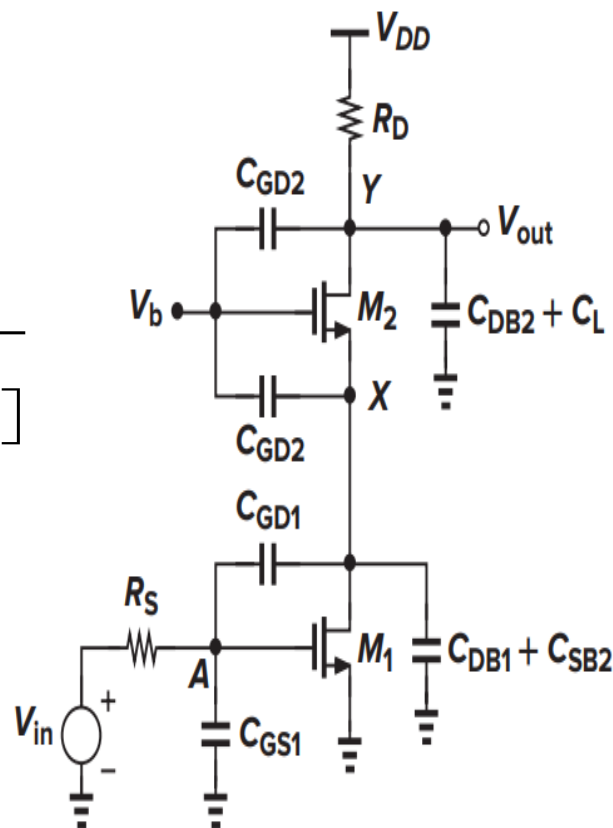
$$(M_1 \text{ 与 } M_2 \text{ 相同时}) \approx -1$$

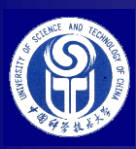
$$\omega_{p,A} \approx \frac{1}{R_S \left[ C_{GS1} + \left( 1 + \frac{g_{m1}}{g_{m2} + g_{mb2}} \right) C_{GD1} \right]}$$

A到X的增益小 ( $\sim 1$ )，米勒效应电容小。  
主极点大，适合高频。

$$\omega_{p,X} \approx \frac{g_{m2} + g_{mb2}}{2C_{GD1} + C_{DB1} + C_{SB2} + C_{GS2}}$$

$$\omega_{p,Y} = \frac{1}{R_D (C_{GD2} + C_{DB2} + C_L)}$$

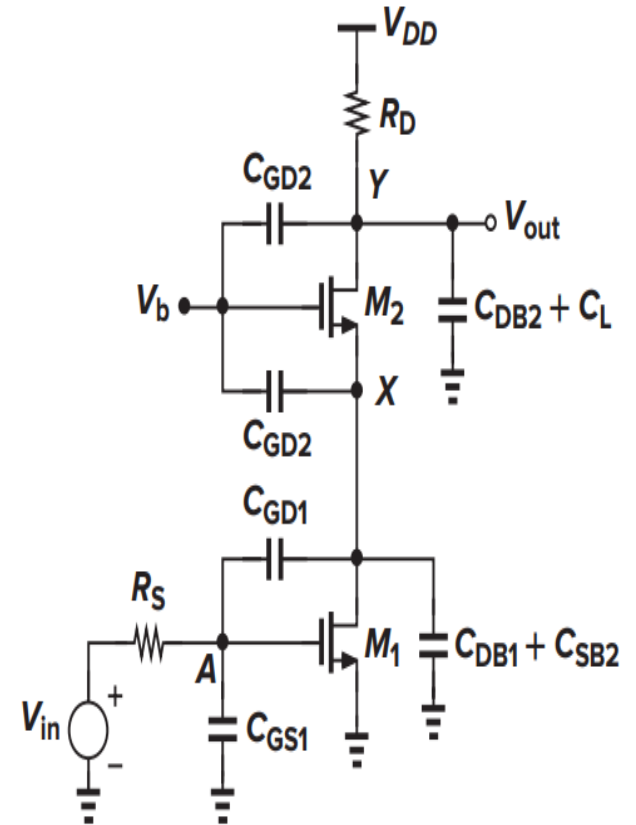




# Cascode Stage (cont.)

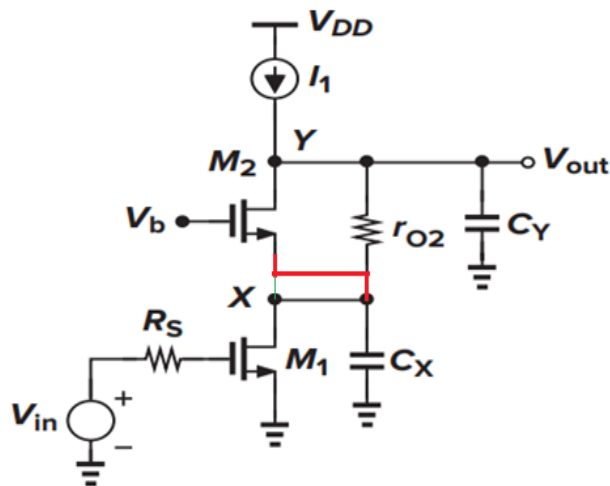
$$\frac{V_{out}}{V_{in}}(s) = \frac{A_0}{\left(1 + \frac{s}{\omega_{p,A}}\right) \left(1 + \frac{s}{\omega_{p,Y}}\right) \left(1 + \frac{s}{\omega_{p,X}}\right)}$$

$$\approx \frac{-g_{m1} R_D}{\left(1 + \frac{s}{\omega_{p,A}}\right) \left(1 + \frac{s}{\omega_{p,Y}}\right) \left(1 + \frac{s}{\omega_{p,X}}\right)}$$

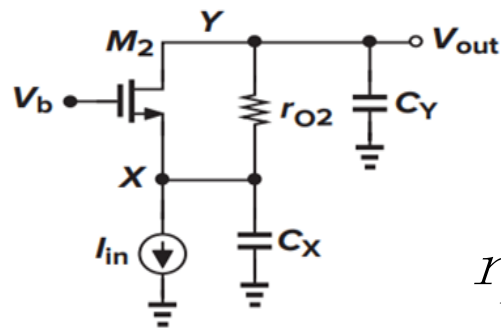




# 例6.16 即使 $R_D$ 很大，X极点并不受影响



(a)



(b)

Figure 6.35 Simplified model of a cascode stage.

$R_D$ 为电流源，X向M2源级看的**低频**输入阻抗 $r_X$ 很大。X点关联的极点会变低吗？

$$r_X = \frac{R_D + r_{o2}}{1 + (g_{m2} + g_{mb2})r_{o2}}$$

电流源 $I_1$ 的 $R_D = \infty$

$C_X$ 电流为反向 $C_Y$ 电流减去M1的 $I_{D1} = I_{in}$

仅关注X点，故可设 $C_{GS1} = 0$

$$\begin{aligned} V_{out} &= V_{CX} + r_{o2}(-I_{CY} - I_{D2}) = V_{CX} + r_{o2}(-I_{CY} + g_{m2}V_{CX}) \\ &= V_{CX}(1 + g_{m2}r_{o2}) - r_{o2}I_{CY} \\ &= \frac{-V_{out}C_Ys - I_{D1}}{C_Xs} (1 + g_{m2}r_{o2}) - r_{o2}V_{out}C_Ys \end{aligned}$$



# 例 6.16 (续) $R_D$ 不影响X极点

$$V_{out} = \frac{-V_{out}C_Y S - I_{in}}{C_X S} (1 + g_{m2}r_{o2}) - r_{o2}V_{out}C_Y S$$

$$\frac{V_{out}}{I_{in}} = - \frac{\frac{1 + g_{m2}r_{o2}}{C_X S}}{1 + \frac{C_Y}{C_X} (1 + g_{m2}r_{o2}) + r_{o2}C_Y S}$$

一般有  $C_Y > C_X$  :  $\frac{V_{out}}{I_{in}} \approx - \frac{\frac{g_{m2}}{C_X S}}{\frac{C_Y}{C_X} g_{m2} + C_Y S}$

$$\therefore \frac{V_{out}}{V_{in}} = \frac{V_{out}}{I_{in} / g_{m1}} \approx - \frac{g_{m1}g_{m2}}{s(C_Y g_{m2} + C_X C_Y S)} = - \frac{g_{m1}}{sC_Y (1 + \frac{s}{\frac{g_{m2}}{C_X}})}$$

原因：负载实为  $(R_D = \infty) \parallel \frac{1}{C_Y S} \approx \frac{1}{C_Y S}$ ，与大  $R_D$  无关

# 6.6 Differential pair 差动对的频率特性

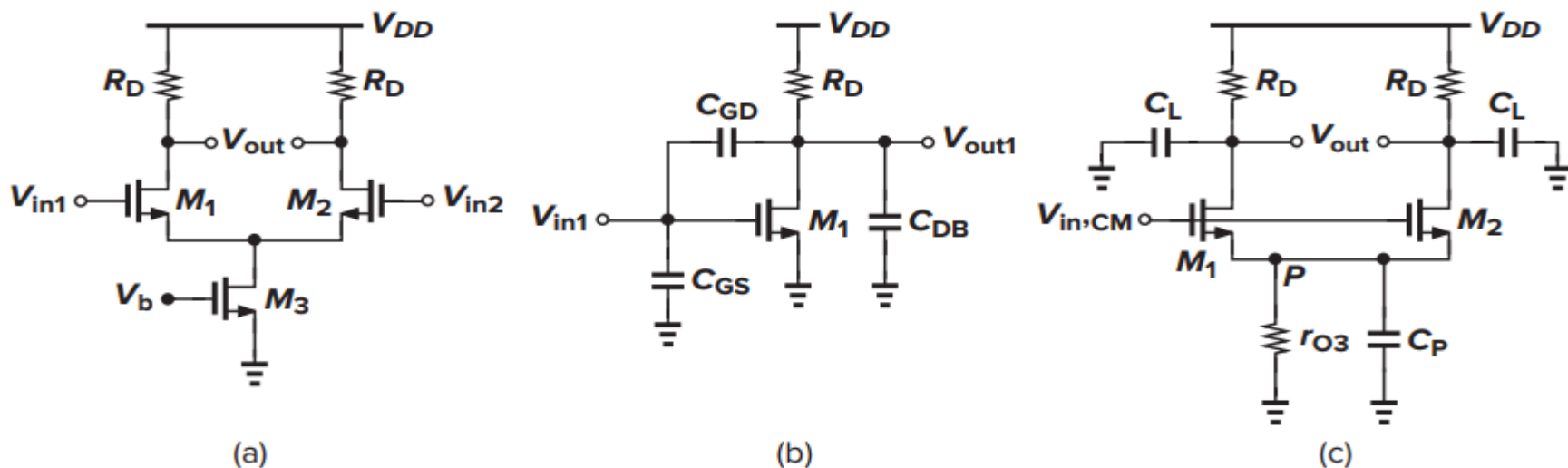


Figure 6.36 (a) Differential pair; (b) half-circuit equivalent; (c) equivalent circuit for common-mode inputs.

6.6.1 无源和电流源负载差动对，匹配电路，低频：

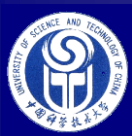
差动增益  $A_{vd} = -g_m R_D$  （输出与输入同侧） 高频时

$$\text{共模增益 } A_{v,CM} = \frac{\partial V_{out}}{\partial V_{in,CM}} = - \frac{\frac{R_D}{2}}{\frac{1}{2g_m} + r_{o3}}$$

$$R_D \Rightarrow R_D \parallel \frac{1}{C_L s}$$

$$r_{o3} \Rightarrow r_{o3} \parallel \frac{1}{C_P s}$$

$$\text{共模抑制比 } CMRR = \frac{A_{vd}}{A_{v,CM}} = 2g_m \left( \frac{1}{2g_m} + r_{o3} \right) = 1 + 2g_m r_{o3}$$



# 输入管失配的影响：

仅考虑跨导失配  $\Delta g_m = g_{m1} - g_{m2}$ ，低频时：

$$A_{DM} = -\frac{R_D}{2} \frac{g_{m1} + g_{m2} + 4g_{m1}g_{m2}r_{o3}}{1 + (g_{m1} + g_{m2})r_{o3}}$$

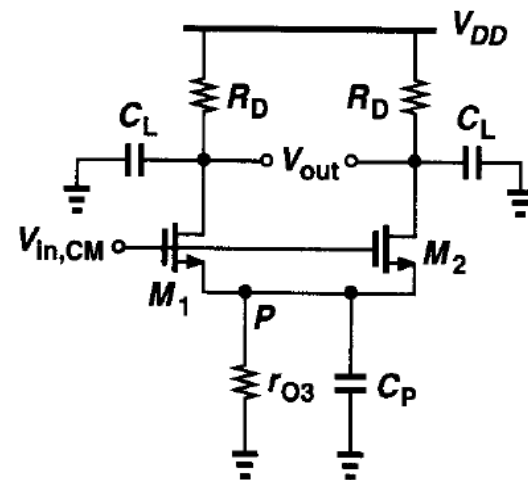
$$A_{CM-DM} = -\frac{\Delta g_m R_D}{(g_{m1} + g_{m2})r_{o3} + 1}$$

高频时考虑寄生电容。

$$C_p \approx C_{GD3} + C_{DB3} + C_{GS1} + C_{SB1} + C_{GS2} + C_{SB2}$$

$$\text{低频 } R_D \Rightarrow \text{高频 } R_D \parallel \frac{1}{C_L s}, \quad r_{o3} \Rightarrow r_{o3} \parallel \frac{1}{C_p s}$$

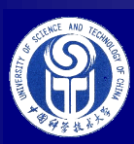
$$A_{DM} = -\frac{R_D \parallel \frac{1}{C_L s}}{2} \frac{g_{m1} + g_{m2} + 4g_{m1}g_{m2}(r_{o3} \parallel \frac{1}{C_p s})}{1 + (g_{m1} + g_{m2})(r_{o3} \parallel \frac{1}{C_p s})}$$



(c)

CM信号（噪声）的影响在于电路失配将CM转换成了DM信号！





# CMRR: 输入管失配的影响 (续)

$$\begin{aligned}
 A_{DM} &= -\frac{R_D}{2(1 + R_D C_L s)} \frac{(g_{m1} + g_{m2})(1 + r_{o3} C_P s) + 4g_{m1}g_{m2}r_{o3}}{1 + r_{o3} C_P s + (g_{m1} + g_{m2})r_{o3}} \\
 &= -\frac{R_D(g_{m1} + g_{m2} + 4g_{m1}g_{m2}r_{o3})}{1 + (g_{m1} + g_{m2})r_{o3}} \times \frac{1 + \frac{(g_{m1} + g_{m2})r_{o3} C_P s}{g_{m1} + g_{m2} + 4g_{m1}g_{m2}r_{o3}}}{2(1 + R_D C_L s) \left[1 + \frac{r_{o3} C_P s}{1 + (g_{m1} + g_{m2})r_{o3}}\right]} \\
 A_{CM-DM} &= \frac{\Delta g_m (R_D || \frac{1}{C_L s})}{(g_{m1} + g_{m2}) (r_{o3} || \frac{1}{C_P s}) + 1} = \frac{\Delta g_m \frac{R_D}{R_D C_L s + 1}}{(g_{m1} + g_{m2}) \frac{r_{o3}}{r_{o3} C_P s + 1} + 1} \\
 &= \frac{\Delta g_m R_D (r_{o3} C_P s + 1)}{(R_D C_L s + 1) [(g_{m1} + g_{m2})r_{o3} + r_{o3} C_P s + 1]} \\
 &= \frac{\Delta g_m R_D}{(g_{m1} + g_{m2})r_{o3} + 1} \times \frac{1 + r_{o3} C_P s}{(1 + R_D C_L s) \left[1 + \frac{r_{o3} C_P s}{(g_{m1} + g_{m2})r_{o3} + 1}\right]}
 \end{aligned}$$



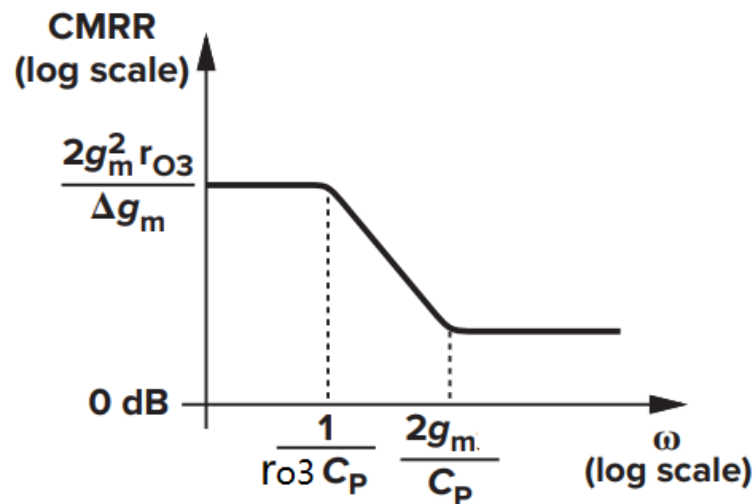
# CMRR: 输入管失配的影响 (续)

$$\text{记 } g_{m1} + g_{m2} = 2g_m,$$

$$\text{共模抑制比 } CMRR = \frac{A_{DM}}{A_{CM-DM}} = \frac{g_m + 2g_{m1}g_{m2}r_{o3} + g_mr_{o3}C_Ps}{\Delta g_m \times (1 + r_{o3}C_Ps)}$$
$$= \frac{(g_m + 2g_{m1}g_{m2}r_{o3}) \left(1 + \frac{g_mr_{o3}C_P}{g_m + 2g_{m1}g_{m2}r_{o3}}s\right)}{\Delta g_m \times (1 + r_{o3}C_Ps)}$$

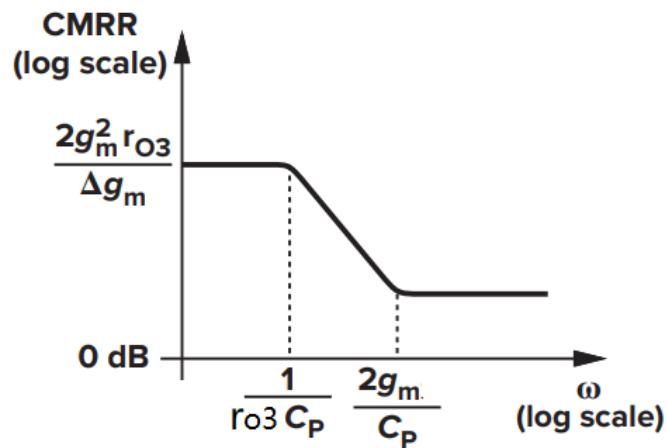
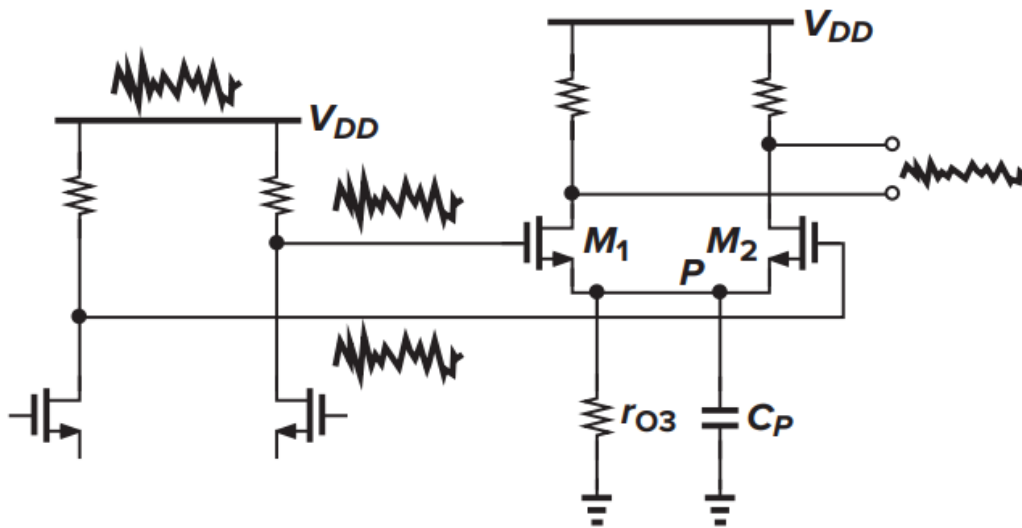
$$\text{若 } g_{m1}g_{m2} \approx g_m^2$$

$$\frac{A_{DM}}{A_{CM-DM}} = \frac{2g_m^2r_{o3} \left(1 + \frac{C_P}{2g_m}s\right)}{\Delta g_m \times (1 + r_{o3}C_Ps)}$$



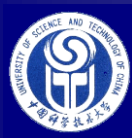


# 差动对中高频电源噪声的影响



$$C_P \propto W_3$$

当  $\omega > \frac{1}{r_{O3} C_P}$  时，CMRR显著降低。



# 电流源负载差动对

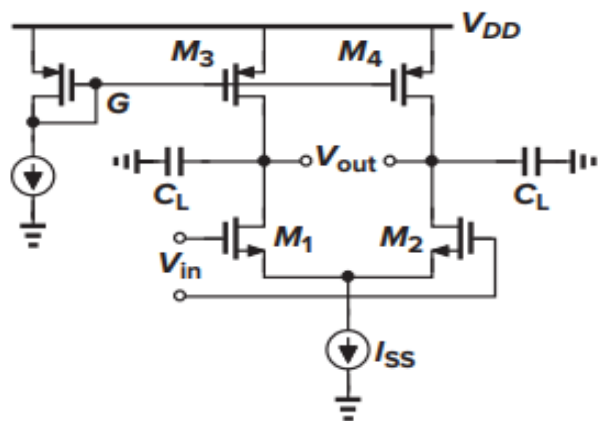


图6.39(a) 电流源负载差动对

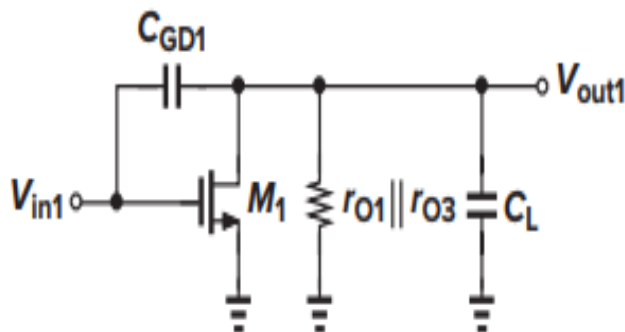
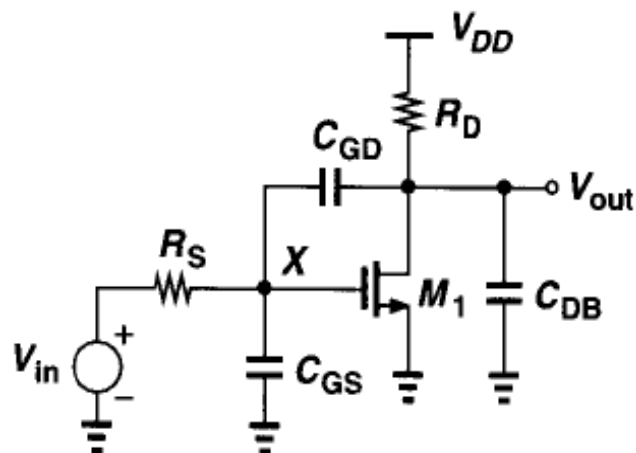
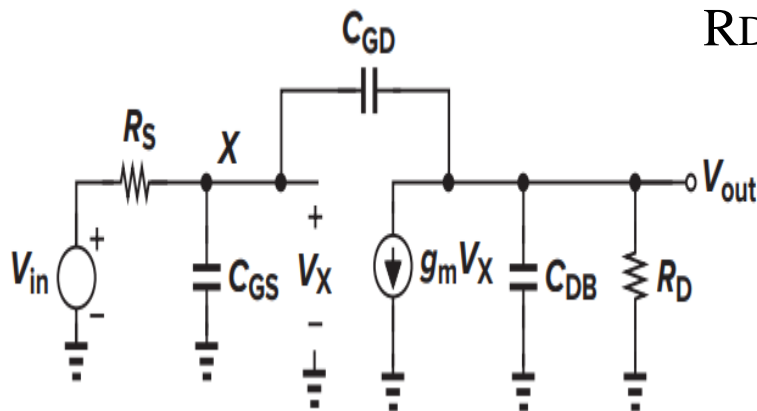


图6.39(c) 半边等效电路

不计  $C_{GS}$  是由于未给前级信号源电阻  $R_S$  (下图)

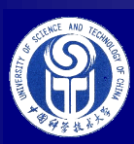


对比：图6.13 高频单端CS



对比：图6.15 高频单端CS等效电路

上下图中，  
 $C_L = C_{DB1} + C_{DB3}$ ，  
 $R_D = r_{O1} || r_{O3}$



# 电流源负载差动对（续）

$$\frac{V_{out}}{V_{in}}(s) = \frac{-(g_m - C_{GD}s)R_D}{R_S R_D \xi s^2 + [R_S(1 + g_m R_D)C_{GD} + R_S C_{GS} + R_D(C_{DB} + C_{GD})]s + 1}$$

$$\xi = C_{GS}C_{DB} + C_{GS}C_{GD} + C_{GD}C_{DB} \quad \text{式 (6.30) 对应单端CS 高频等效电路}$$

图6.39差分对，在（6.30）式中

$$\text{令 } R_S = 0, R_D = r_{o1} \parallel r_{o3}, C_{DB} = C_L (\text{实为 } C_{DB1} + C_{GD3} + C_{DB3})$$

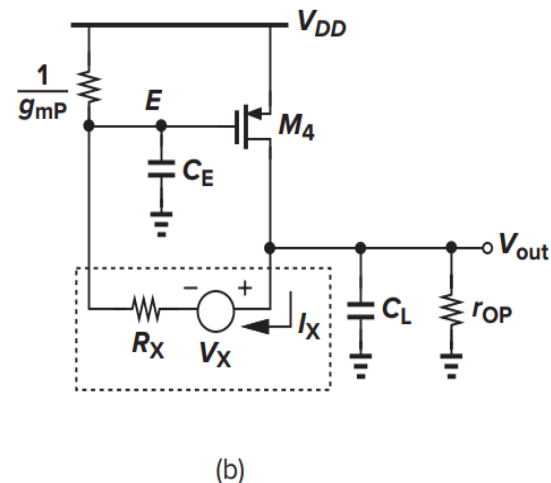
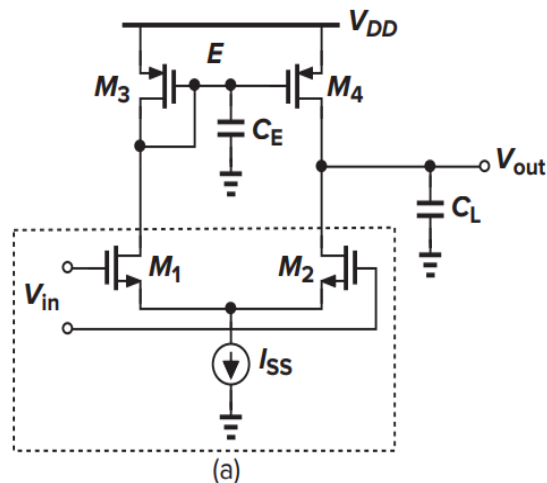
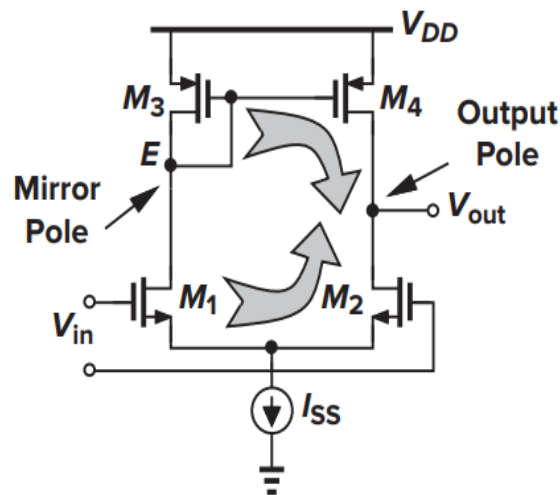
$$\frac{V_{out}}{V_{in}}(s) = \frac{-(g_{m1} - C_{GD1}s)(r_{o1} \parallel r_{o3})}{(r_{o1} \parallel r_{o3})(C_L + C_{GD1})s + 1}$$

$$= -g_{m1}(r_{o1} \parallel r_{o3}) \frac{1 - \frac{C_{GD1}s}{g_{m1}}}{1 + (r_{o1} \parallel r_{o3})(C_L + C_{GD1})s}$$

$$\text{极点 } \omega_p = \frac{1}{(r_{o1} \parallel r_{o3})(C_L + C_{GD1})}, \quad (\text{正}) \text{ 零点 } \omega_z = \frac{g_{m1}}{C_{GD1}}$$



## 6.6.2 电流镜负载差动对的频率特性



电流镜负载放大器不是标准的全差分电路；不能利用半边电路获得传递函数。

两条信号通路，节点 $E$  关联极点  $\omega_{pE} \approx \frac{g_{m3}}{C_E}$

$C_E = C_{GS3} + C_{GS4} + C_{DB3} + C_{DB1} + C_{GD1}$  密勒效应（小）+  $C_{GD4}$  密勒效应（大）

$C_L \approx$  真实负载  $C'_L + C_{DB4} + C_{DB2} + C_{GD4} + C_{GD2}$

记  $r_{OP} = r_{O4} = r_{O3}$ ,  $r_{ON} = r_{O1} = r_{O2}$ ,  $g_{mP} = g_{m3} = g_{m4}$



# 电流镜负载差动对的频率特性(续)

$$V_X = g_{mN} r_{ON} V_{in}$$

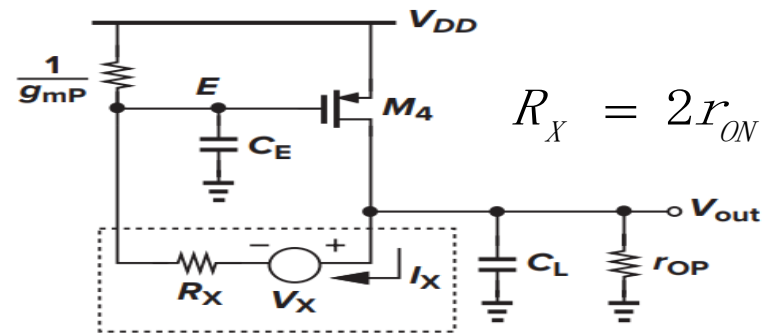
$$I_X = V_E (g_{mP} + sC_E)$$

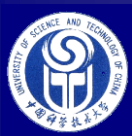
$$-V_E g_{m4} - I_X = V_{out} (sC_L + \frac{1}{r_{OP}})$$

$$V_E = (V_{out} - V_X) \frac{\frac{1}{g_{mP}} \parallel \frac{1}{C_E s}}{R_X + \frac{1}{g_{mP}} \parallel \frac{1}{C_E s}} = (V_{out} - V_X) \frac{\frac{1}{g_{mP} + C_E s}}{R_X + \frac{1}{g_{mP} + C_E s}}$$

$$\frac{V_{out}}{V_{in}} = \frac{g_{mN} r_{ON} (2g_{mP} + C_E s) r_{OP}}{2r_{OP} r_{ON} C_E C_L s^2 + [(2r_{ON} + r_{OP}) C_E + r_{OP} (1 + 2g_{mP} r_{ON}) C_L] s + 2g_{mP} (r_{ON} + r_{OP})}$$

$$= \frac{g_{mN} r_{ON} r_{OP}}{r_{ON} + r_{OP}} \times \frac{1 + \frac{C_E s}{2g_{mP}}}{(1 + \frac{s}{\omega_{p1}}) (1 + \frac{s}{\omega_{p2}})} = g_{mN} (r_{ON} \parallel r_{OP}) \frac{1 + \frac{s}{\omega_Z}}{(1 + \frac{s}{\omega_{p1}}) (1 + \frac{s}{\omega_{p2}})}$$





# 电流镜负载差动对的频率特性(续)

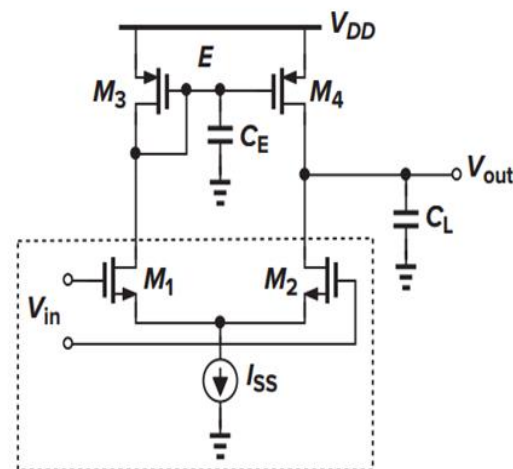
$$\omega_{p1} \approx \frac{2g_{mP}(r_{ON} + r_{OP})}{(2r_{ON} + r_{OP})C_E + r_{OP}(1 + 2g_{mP}r_{ON})C_L} \approx \frac{2g_{mP}(r_{ON} + r_{OP})}{r_{OP}(1 + 2g_{mP}r_{ON})C_L}$$

$$\approx \frac{r_{ON} + r_{OP}}{r_{OP}r_{ON}C_L} = \frac{1}{(r_{OP} || r_{ON})C_L} \quad \text{主极点(时间常数最大)与输出节点关联}$$

$$\therefore \frac{1}{\omega_{p1}\omega_{p2}} \approx \frac{r_{ON}r_{OP}C_EC_L}{g_{mP}(r_{ON} + r_{OP})} = \frac{C_E}{g_{mP}} \times (r_{ON} || r_{OP})C_L$$

$$\therefore \omega_{p2} \approx \frac{g_{mP}}{C_E} \quad \text{镜像极点(次极点)与电流镜节点E关联}$$

$$\text{零点 } \omega_z = \frac{2g_{mP}}{C_E} = 2\omega_{p2} \quad \text{两条信号路径}$$



$$\therefore \frac{V_{out}}{V_{in}}(s) = g_{mN}(r_{ON} || r_{OP}) \frac{1 + \frac{s}{\omega_z}}{(1 + \frac{s}{\omega_{p1}})(1 + \frac{s}{\omega_{p2}})} = A_0 \frac{1 + \frac{s}{2\omega_{p2}}}{(1 + \frac{s}{\omega_{p1}})(1 + \frac{s}{\omega_{p2}})}$$





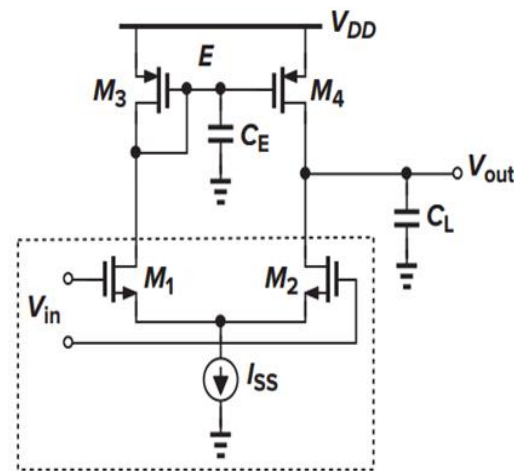
# 电流镜负载差动对的频率特性(续)

$$\begin{aligned}\therefore \frac{V_{out}}{V_{in}}(s) &= A_0 \frac{1 + \frac{s}{2\omega_{p2}}}{(1 + \frac{s}{\omega_{p1}})(1 + \frac{s}{\omega_{p2}})} = A_0 \frac{1}{1 + \frac{s}{\omega_{p1}}} \times \frac{\frac{1}{2}(2 + \frac{s}{\omega_{p2}})}{1 + \frac{s}{\omega_{p2}}} \\ &= \frac{A_0}{2} \frac{1}{1 + \frac{s}{\omega_{p1}}} (1 + \frac{1}{1 + \frac{s}{\omega_{p2}}}) = \frac{A_0}{2} \frac{1}{1 + \frac{s}{\omega_{p1}}} + \frac{A_0}{2} \frac{1}{(1 + \frac{s}{\omega_{p1}})(1 + \frac{s}{\omega_{p2}})}\end{aligned}$$

快通路（带宽大）信号+慢通路（带宽小）信号

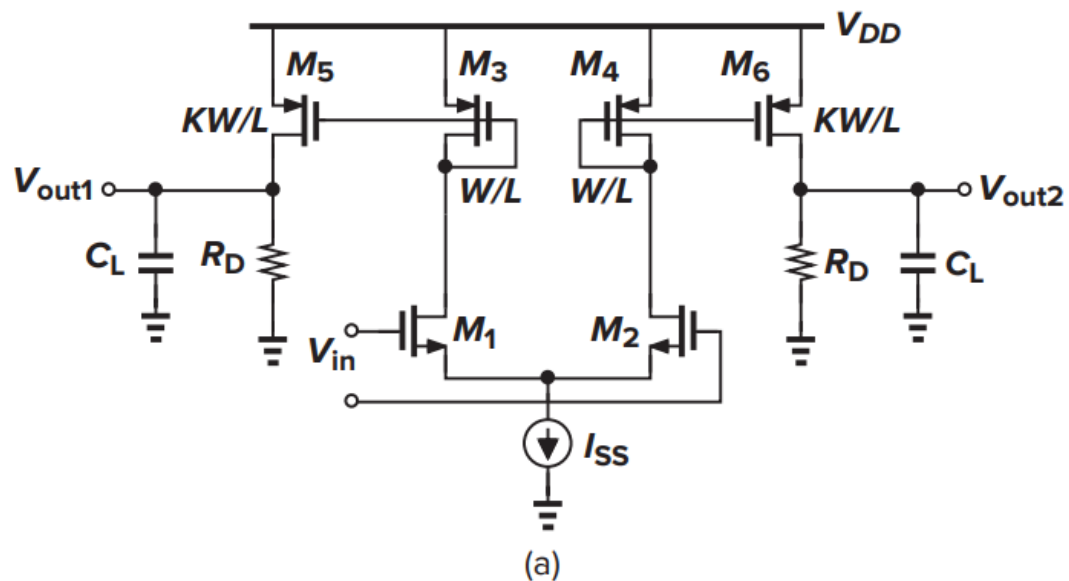
左平面零点（信号相加）的作用：  
电路输出由快通路(M2)和  
慢通路(M1、M3和M4)并联组成。

电流镜负载差动对具有镜向极点（缺点）。

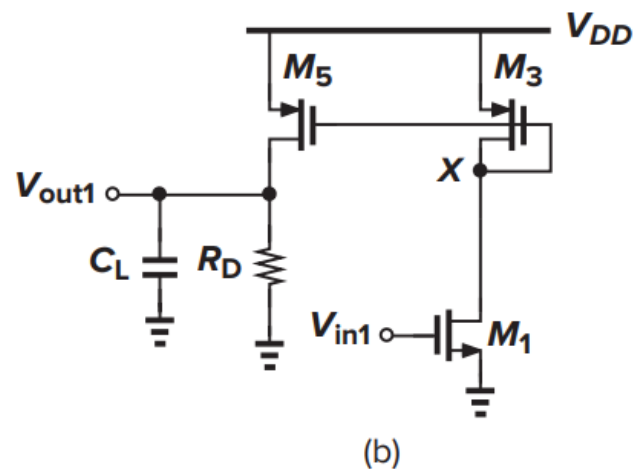




# 例 6.17 估算传递函数



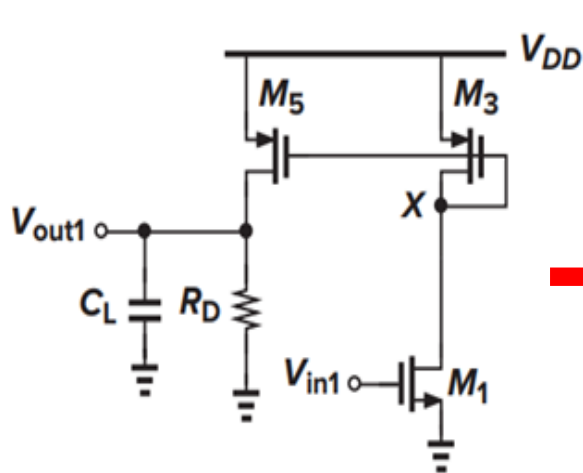
低频增益  $A_v = g_{m1} K R_D$



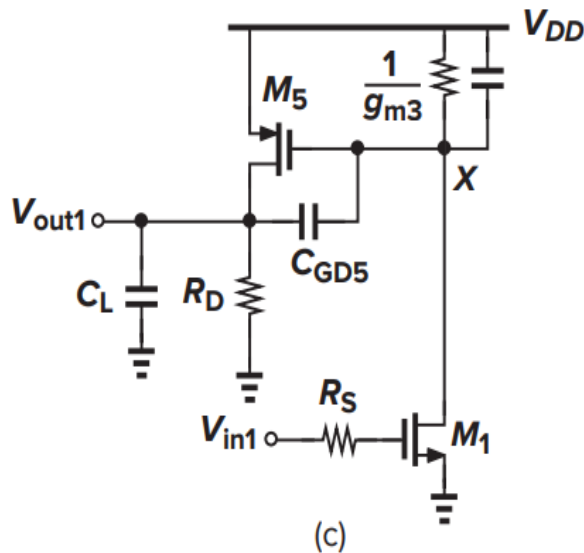
半边电路



# 例 6.17 求传递函数（续）

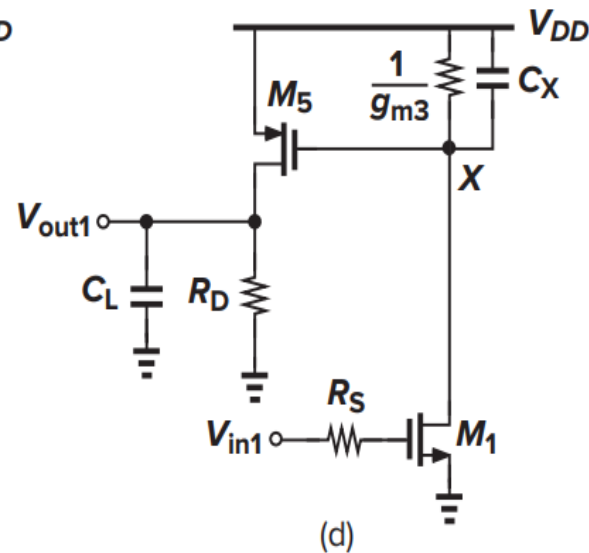


半边电路



(c)

高频等效半边电路



(d)

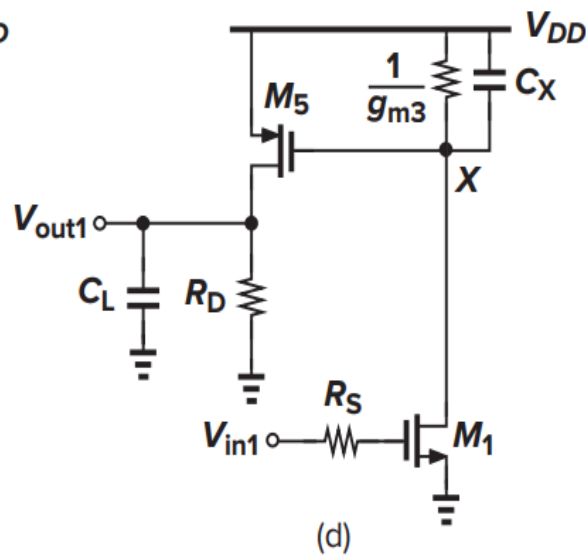
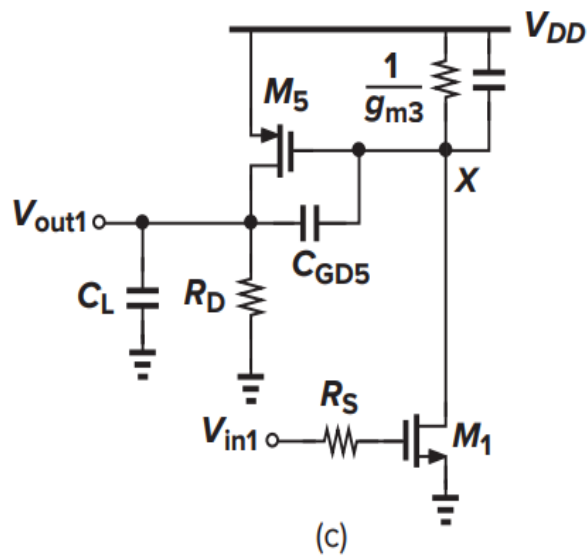
用密勒定律处理 $C_{GD5}$

$$C_X \approx C_{GS3} + C_{DB3} + C_{GS5} + C_{GD5}(1 + g_{m5}R_D) + C_{DB1} + C_{GD1}(1 + \frac{g_{m3}}{g_{m1}})$$

$$C_L \text{ 较大而 } C_{GD5} \text{ 很小, } C_L || C_{GD5} (\text{密勒效应}) \approx C_L$$



# Example 6.17 (cont.) transfer function



$$\begin{aligned} \frac{V_{out}}{V_{in}} &= \frac{V_{out1}}{V_{in1}} \\ &= \frac{V_{GS1}}{V_{in1}} \times \frac{V_X}{V_{GS1}} \times \frac{V_{out1}}{V_X} \end{aligned}$$

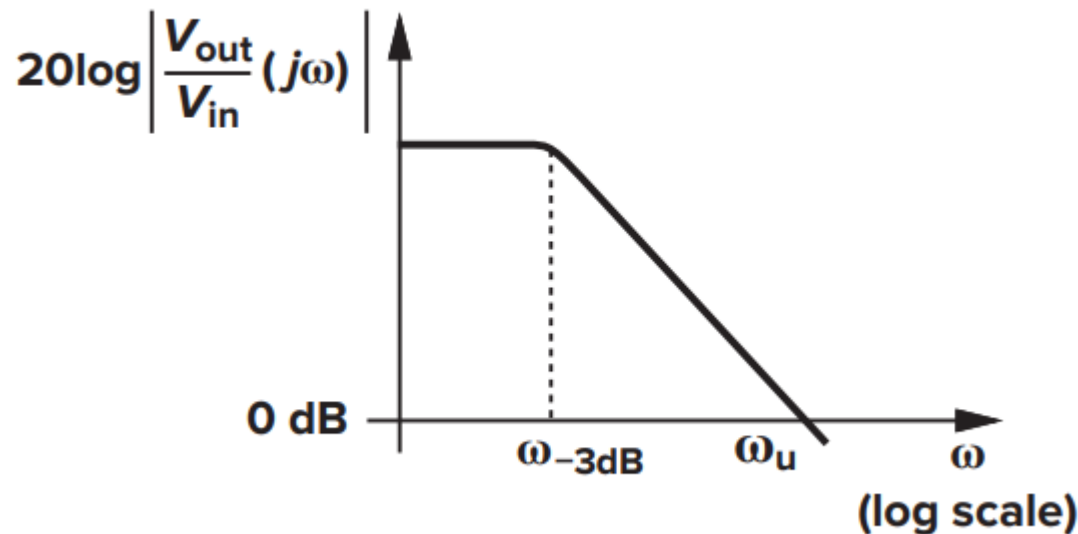
$$\frac{V_{out}}{V_{in}} \approx A_0 \frac{1}{\left(1 + \frac{s}{\omega_{in}}\right) \left(1 + \frac{s}{\omega_X}\right) \left(1 + \frac{s}{\omega_{out}}\right)}, \quad \text{式中 } A_0 \approx g_{m1} K R_D$$

$$\omega_{in} = \frac{1}{R_S [C_{GS1} + C_{GD1} (1 + \frac{g_{m1}}{g_{m3}})]}, \quad \omega_X = \frac{g_{m3}}{C_X}, \quad \omega_{out} = \frac{1}{R_D C_L}$$

忽略了CGD1和CGD5引起的高频零点 $g_m/CGD$



## 6.7 增益-带宽的折中



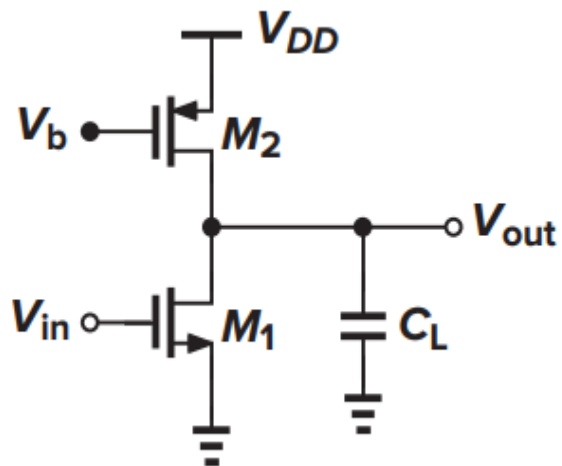
低通电路中的 $-3\text{dB}$  带宽 $\omega_{-3dB}(\text{rad/s}) = 2\pi f_{3dB}$  ,  
 $f_{3dB}$  简称 $3\text{dB}$  带宽 (Hz);  $\omega_{-3dB}$  一般由主极点 (最低频率) 确定。

单位增益带宽: 由 $\omega_u(\text{rad/s}) = 2\pi f_u$ ,  $\Rightarrow f_u = \frac{\omega_u}{2\pi}$  (Hz)

增益带宽积 $\text{GBW} = |\text{低频增益}| * 3\text{dB带宽 (Hz)} = A_0 * f_{3dB}$



## 6.7.1 单极点电路



$$\begin{aligned}\frac{V_{out}}{V_{in}}(s) &= -g_{m1}(r_{o1} \parallel r_{o2} \parallel \frac{1}{sC_L}) \\ &= -g_{m1} \frac{(r_{o1} \parallel r_{o2}) \frac{1}{C_L s}}{(r_{o1} \parallel r_{o2}) + \frac{1}{C_L s}} = \frac{-g_{m1}(r_{o1} \parallel r_{o2})}{1 + (r_{o1} \parallel r_{o2})C_L s} \\ &= \frac{A_0}{1 + \frac{s}{\omega_p}}\end{aligned}$$

$$\text{增益带宽积 } GBW = |A_0| \frac{\omega_p}{2\pi} = |A_0| f_{3dB}$$

$$= g_{m1}(r_{o1} \parallel r_{o2}) \frac{1}{2\pi(r_{o1} \parallel r_{o2})C_L} = \frac{g_{m1}}{2\pi C_L} \quad \text{与输出电阻无关!}$$



# 例：GBW

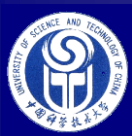
$$\text{设 } g_{m1} = \frac{1}{100\Omega}, C_L = 50fF$$

$$GBW = \frac{g_{m1}}{2\pi C_L} = \frac{1}{100 \times 2\pi \times 50 \times 10^{-15}} \approx 31.83 \text{ G Hz}$$

单极点系统的增益-带宽积约为单位增益带宽。

$$\text{单位增益角频率 } \omega_u, \text{ 令 } \left| \frac{V_{out}}{V_{in}}(s) \right| = \left| \frac{A_0}{1 + \frac{s}{\omega_p}} \right|_{s=j\omega_u} = \frac{|A_0|}{\sqrt{1 + \left( \frac{\omega_u}{\omega_p} \right)^2}} = 1$$

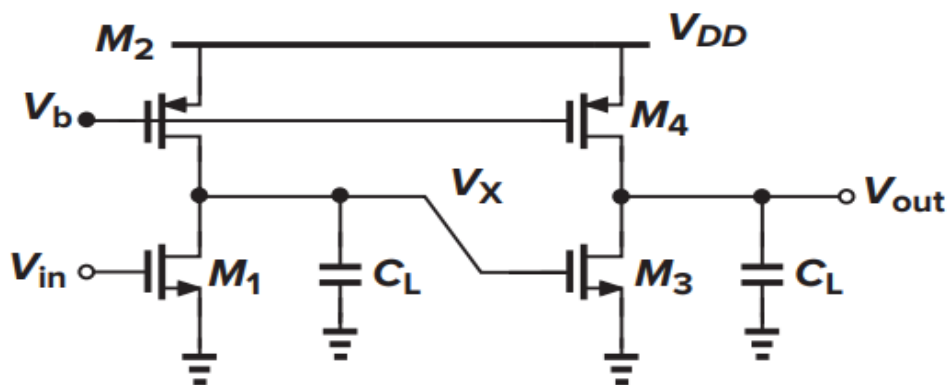
$$\omega_u = \omega_p \sqrt{A_0^2 - 1} \approx A_0 \omega_p = A_0 \omega_{-3dB}, \text{ 即 } A_0 f_{3dB} = f_u = GBW$$



## 6.7.2 多个电路级联

级联电路用于增大增益和GBW；但必然形成多极点或多重极点，电路总带宽减小，多极点反馈系统稳定性变差。

### (1) 相同电路级联形成多重极点



$$\frac{V_{out}}{V_{in}}(s) = \frac{A_0^2}{\left(1 + \frac{s}{\omega_p}\right)^2}$$

$A_0$ 和 $\omega_p$ 是单个CS放大器的低频增益和带宽。

$$\left| \frac{V_{out}}{V_{in}}(s = j\omega_{-3dB}) \right| = \frac{A_0^2}{1 + \left(\frac{\omega_{-3dB}}{\omega_p}\right)^2} = \frac{A_0^2}{\sqrt{2}}$$



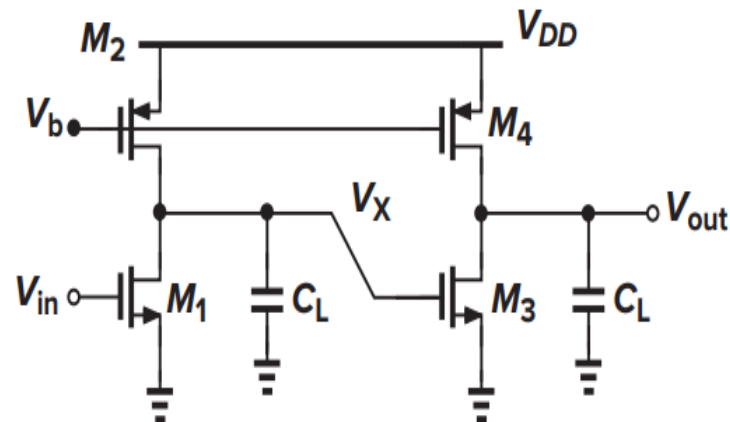


# 多重极点电路（续）

2重极点电路:  $1 + \left( \frac{\omega_{-3dB}}{\omega_p} \right)^2 = \sqrt{2}$

$$\Rightarrow \omega_{-3dB} = \omega_p \sqrt{\sqrt{2}-1} = 0.643 \omega_p$$

带宽减小.



$$GBW = A_0^2 \omega_p \sqrt{\sqrt{2}-1} = 0.643 A_0^2 \omega_p = 0.643 A_0 \times A_0 \omega_p$$

N个相同电路级联形成N重极点,

$$\text{总带宽为 } \omega_{N,-3dB} = \omega_p \sqrt{\sqrt[N]{2}-1}$$



# 不同电路级联形成的多极点电路

$$\frac{V_{out}}{V_{in}}(s) = \frac{A_0}{(1 + \frac{s}{\omega_{p1}})(1 + \frac{s}{\omega_{p2}})\dots(1 + \frac{s}{\omega_{pN}})}$$

$$\sqrt{1 + \left(\frac{\omega_{-3dB}}{\omega_{p1}}\right)^2} \times \sqrt{1 + \left(\frac{\omega_{-3dB}}{\omega_{p2}}\right)^2} \times \dots \times \sqrt{1 + \left(\frac{\omega_{-3dB}}{\omega_{pN}}\right)^2} = \sqrt{2}$$

$\therefore \omega_{-3dB}$  一定小于  $\omega_{pi}$

$$\therefore \left(\frac{\omega_{-3dB}}{\omega_{p1}}\right)^2 + \left(\frac{\omega_{-3dB}}{\omega_{p2}}\right)^2 + \dots + \left(\frac{\omega_{-3dB}}{\omega_{pN}}\right)^2 \approx 1$$

$$\omega_{-3dB} \approx \frac{1}{\sqrt{\left(\frac{1}{\omega_{p1}}\right)^2 + \left(\frac{1}{\omega_{p2}}\right)^2 + \dots + \left(\frac{1}{\omega_{pN}}\right)^2}}$$



# 本章知识要点

- 密勒效应减小输入阻抗；
- 输入输出反向时，密勒定律可用于近似计算输出阻抗以及传递函数，但会丢失零点和增加可忽略极点；
- 只有前向（馈）结构电路的极点与节点关联；
- 极点是信号路径上电容使得高频比低频信号幅度衰减3dB的（角）频率；
- 零点是输入输出之间两条支路的阻性和容性信号相等时的（角）频率，总幅度增加3dB；零点有正有负；
- 传递函数可用低频增益和零极点构成；一般来说主极点是3dB带宽；
- 共源放大器输入和输出阻抗高频时降低；
- 源极跟随器输出阻抗可能形成有源电感，但Q值很低；
- Cascode结构由于密勒效应小，适合高速或高频电路；
- 差分放大电路共模抑制高频时变差，尾电流源尺寸不宜很大；
- 电流镜负载差动放大器与电流源负载差动放大器相比，具有镜像极点，频率特性稍慢，镜像极点对稳定性有影响；
- 单极点电路的增益带宽积与单位增益带宽的关系。